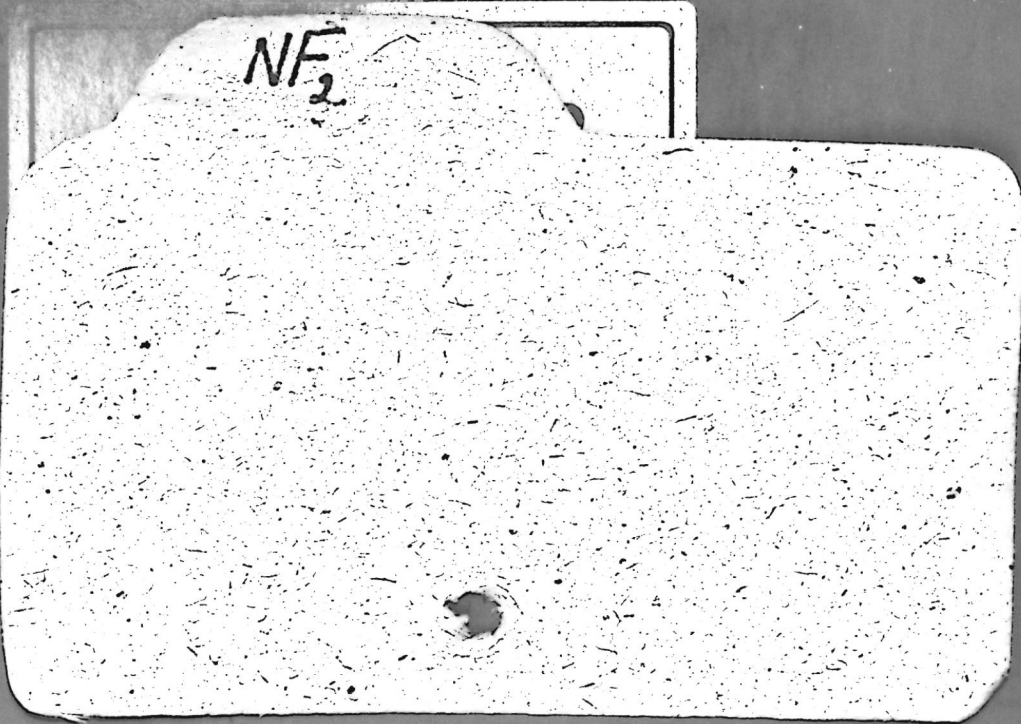


NF<sub>2</sub>



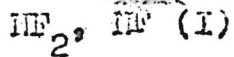
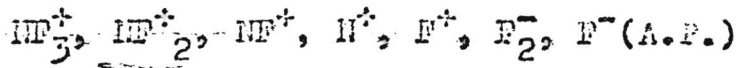
Ruff O., Staub L.

1931

NF<sub>2</sub> | Z. anorg. allgem. Chem., 1931, 198, 32.

III - 1134

1956



Reese R.H., Dibeler V.H.,

J.Chem.Phys., 1956, 24, N 6, 1175-1177  
(англ.)

Ионизация и диссоциация электронным  
ударом.

РЖХ, 1957, N 4, 10840



Без ф.к.

бц

1959

NF<sub>2</sub>

Electron spin resonance spectrum of the NF<sub>2</sub> radical isolated in a neon matrix at 4°K. Paul H. Kasai and Earl B. Whipple (Union Carbide Res. Inst., Tarrytown, N.Y.). *Mol. Phys.* 9(5), 497-9(1959)(Eng). This spectrum was obtained at a frequency of 9.43 kMc. The overall pattern of the spectrum has the characteristic asymmetry expected for a system with a severe hyperfine anisotropy. The components of the hyperfine interaction and the g values are given. The results are consistent with the unpaired electron of this mol. being in an anti-bonding  $\pi$  orbital.

BGJN

checkp

37P

6 maxima

C.A. 1966. 64.4

4483 ab

III - 1027

$\text{N}_2\text{F}_4$  ( I, А.Р.ЖОНОВ :  $\text{M}_2^+$ ,  $12^{\circ}$ ) 1960

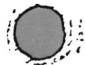
D / (PF<sub>3</sub>) ; (F<sub>2</sub>N-NF<sub>2</sub>) /  
F (л.)

Loughran G. D., Lader G.

J. Chem. Phys., 1960, 32, N 5, 1578-  
1579 (англ.)

Исследование тетрафторгидразинка путем  
измерения потенциалов появления.

РХ, 1961, ЗБ123



ЭГ2  
фотош.

1044

*NF<sub>2</sub>* 196  
7Б62. Иинфракрасный спектр и структура радикала NF<sub>2</sub>. Harmony Marlin D., Myers Rollie J., Schöen L. J., Lide David R., Jr, Mann D. E. Infrared spectrum and structure of the NF<sub>2</sub> radical. «J. Chem. Phys.», 1961, 35, № 3, 1129—1130 (англ.).—Получен ИК-спектр радикала NF<sub>2</sub>, находящегося в равновесии с N<sub>2</sub>F<sub>4</sub> при т-рах 25—175°. Кювета (9 см) из пирекса была снабжена окнами из NaCl или AgCl; начальное давление N<sub>2</sub>F<sub>4</sub> составляло 1—10 мм рт. ст. Одна из двух наблюденных полос (центр при 1074 см<sup>-1</sup>) имеет отчетливую врацательную структуру и может быть приписана симм. вал. кол. NF<sub>2</sub> v<sub>1</sub>(a<sub>1</sub>). Вторая полоса (930—940 см<sup>-1</sup>) сильно маскируется поглощением N<sub>2</sub>F<sub>4</sub>; она трактуется как v<sub>3</sub>(b<sub>1</sub>). На основании определенных из врацательной структуры мол. констант и в предположении, что расстояние N—F равно 1,37 Å, рассчитан угол < FNF 104,2°. При снятии спектров радикала, находящегося в матрице (N<sub>2</sub>, 20° K), значения v<sub>1</sub> и v<sub>3</sub> оказались равными соответственно 1069,6 и 930,7 см<sup>-1</sup>, в согласии с тем, что для подобных молекул в матрице N<sub>2</sub> вал. кол. оказываются примерно на 5 см<sup>-1</sup> ниже, чем в газовой фазе.

В. Дианов-Клоков

373

NF<sub>2</sub>

III - 802

1961

373

Infrared spectrum and structure of the NF<sub>2</sub> radical.  
Marlin D. Harmony, Rollie J. Myers (Univ. of California,  
Berkeley), L. J. Schoen, David R. Lide, Jr., and D. E.  
Mann. *J. Chem. Phys.* 35, 1129-30(1961).—N<sub>2</sub>F<sub>4</sub> was  
heated to 25-175° and the infrared spectrum was studied.  
New bands which appeared on heating disappeared when  
the sample was cooled. The equil., N<sub>2</sub>F<sub>4</sub>  $\rightleftharpoons$  2NF<sub>2</sub>, was as-  
sumed. The new bands were used to est. an F—N—F angle  
of 104.2°.

Henry Leidheiser, Jr.

C.A. 1962:56:6  
5545d

NF<sub>2</sub>

III-822

1961  
373

и.к.

сбруя

4 B144. Инфракрасный спектр и структура радикала NF<sub>2</sub>. Harmony Marlin D., Myers Rollie J., Schoen L. J., Lide David R., Jr., Mann D. E. Infrared spectrum and structure of the NF<sub>2</sub> radical. «J. Chem. Phys.», 1961, 35, № 3, 1129—1130 (англ.)

Краткое сообщение об исследовании вращательной структуры полосы поглощения 1074 см<sup>-1</sup> радикала NF<sub>2</sub> (I) (образующегося при нагревании N<sub>2</sub>F<sub>4</sub>), соответствующей сим. вал. кол. ν<sub>1</sub>(a<sub>1</sub>). Из анализа получены значения: ν<sub>0</sub>=1074,3±0,1 см<sup>-1</sup> и A''—1/2 (B''+C'')=A'—1/2(B'+C')=1,98±0,01 см<sup>-1</sup>. Угол FNF равен 104,2° при длине связи N—F 1,37 Å. В спектре наблюдалась также полоса I ν<sub>3</sub>(b<sub>1</sub>) в области 930—940 см<sup>-1</sup>, которая частично перекрывает поглощением N<sub>2</sub>F<sub>4</sub>. Измерения ИК-спектров I в твердой азотной матрице при 20°K дали значения ν<sub>1</sub>=1069,6 и ν<sub>2</sub>=930,7 см<sup>-1</sup>. Подробное сообщение будет опубликовано позднее. B. H.

РМД 1962

4 B144

БФ - 803-III

1961

(12Б28.) Масс-спектрометрическое исследование  $\text{NF}_2$ ,  $\text{NF}_3$ ,  $\text{N}_2\text{F}_2$  и  $\text{N}_2\text{F}_4$ . Н.егроп. John T., Dibeler Vergnon H. Mass spectrometric study of  $\text{NF}_2$ ,  $\text{NF}_3$ ,  $\text{N}_2\text{F}_2$ , and  $\text{N}_2\text{F}_4$ . «J. Res. Nat. Bur. Standards», 1961, A65, № 5, 405—409 (англ.).—На масс-спектрометре исследована диссоциация и ионизация электронным ударом молекул  $\text{NF}_2$ ,  $\text{NF}_3$ ,  $\text{N}_2\text{F}_2$  и  $\text{N}_2\text{F}_4$ . Ионный источник был снабжен спец. печью, в которой происходила диссоциация  $\text{N}_2\text{F}_4 \rightleftharpoons 2\text{NF}_2$ . Исследование последней р-ции позволило непосредственно определить энергию диссоциации  $D(\text{F}_2\text{N} - \text{NF}_2) = 21,5 \pm 1,6$  ккал/моль. Измерение потенциалов ионизации и потенциалов появления и идентификация процессов, приводящих к образованию осколочных ионов, позволили определить следующие энергетич. характеристики исследованных молекул. Потенциалы ионизации (в эв):  $\text{NF} \leqslant 12,4 \pm 0,3$ ,  $\text{NF}_2 12,0 \pm 0,1$ ,  $\text{NF}_3 13,2 \pm 0,2$ , транс- $\text{N}_2\text{F}_2 13,1 \pm 0,1$ ,  $\text{N}_2\text{F}_4 12,0 \pm 0,1$ ; энергии связи  $\text{N}-\text{F}$  (в ккал/моль): в  $\text{NF}_2 70,5 \pm 1,6$ ;  $\text{F}_2\text{N}-\text{F} 58,4 \pm 4,4$ ; цис- $\text{FN}=\text{NF} 106 \pm 10$ , транс- $\text{FN}=\text{NF} 103 \pm 10$ .

Е. Ф.

Х. 1962. 12.

1961

 $NF_2$  $\Delta H_f$ 

Herron J.T., Dibeler V.K.

J. Chem. Phys., 1961, 35, 247 (n2)Изотермическое изучение  
теплоемкости и температура  
согласия  $N_2F_4$ .

$$\bar{T} = 300 \div 400^{\circ}\text{K}$$

 $\Delta H_{\text{реакции}} N_2F_4 = 2N_2F_2$  $21,5 \pm 1,6 \text{ ккал/моль}$ Значит  $\Delta H_f(NF_2) = 9,8 \pm 2,1 \text{ ккал/моль}$ 
 $\gamma D(N-F)_p$  в  $NF_2 = 70,5 \pm 1,6$   
 ккал

1961

$NF_2$  Johnson F. A., Colburn Ch. B.,  
 $\Delta H_f$  J. Am. Chem. Soc., 1961, 83, 3043.

Равновесие между двумя аргидратами -

- гидратом и метагидратом

на основании исходных данных о  
~~о. ф. - в упомянутых таблицах~~  
~~исследований~~  $N_2H_4$  в от. 260 мк, то  
 предполагаемые константы  $NF_2$ , где реальная  
 $N_2H_4 = 2NF_2$  равны  $\Delta H_{298} = 21,7 \text{ ккал/моль}$ ,  
 а также  $\Delta S = 45,0 \text{ э.д.}$

На основании изложенных данных получены  
 равные 5,6 грамм.согр.  при 200°С. Согласно  
 с изображением 100-150°C находим  $\Delta H = 19,85 \text{ ккал}$   
 и  $\Delta S = 39,90 \text{ э.д.}$ .

тотожністю. № Ру звичайно висока -  
весь куп бактерії погано відмінені. Задля  
L. W. Cole, R. E. Flanagan бактерії неподіль-  
ні після обробки N<sub>2</sub>Ру чи N<sub>2</sub> з поганою  
віддачею (західні країни). Нація неподільних  
бактерій заслужує.

роботи звичайно, якщо  $\Delta H = 20,8 \pm 1$  ккал/100°  
Задля D(N<sub>2</sub>-F) ~~загальна~~<sup>бактерій</sup> 55-57 мікр. є ще ві-  
домість що для N-F є 20,4 мікр. Задля ко-  
манди зі співробітниками зроблено D(F-N)  
N<sub>2</sub>Ру чи N<sub>2</sub>, результати  $\Delta (N-N) = 20,8$  чи  
 $\Delta H_F(N<sub>2</sub>) = 9,4$  мікр. Крізь це може по-  
требувати більшого  значення D(N<sub>2</sub>-F)  
Ідеальні вимірювання D(F-N) & D(N-N) 56 мікр.

1961

NF<sub>3</sub>

Kennedy Jr., Colburn C.B.

≡

804-1

1892  
B91

Энергии связей N-F в  
 $NF_3$  и  $N_2F_4$ .

J. Chem. Phys., 1961, 35 (5),  
1892.

(Call. NF, III)

1961

NF<sub>2</sub>

235191

Piette L. H., Johnson F.A.,  
Boorman K.A., Colburn Charles

Исследование рабочих мест  
 птических разработчиков - гигиениче-  
 ские мероприятия в курильном  
 паро-воздушном реги-  
 оне. X.1962.23

"Z. Chir. Phys." 1961, 35 № 4, 148-

1482 (ancst.)

14 Б116. Иракрасный спектр и термодинамические функции радикала  $\text{NF}_2$ . Harmony Marlin D., Myers Rollie J. Infrared spectrum and thermodynamic functions of the  $\text{NF}_2$  radical. «J. Chem. Phys.», 1962, 37, № 3, 636—641 (англ.)

Получен ИК-спектр поглощения  $\text{NF}_2$  в матрице  $\text{N}_2$  при  $20^\circ\text{K}$  и найдены частоты основных колебаний (в  $\text{с}^{-1}$ )  $v_1 = 1069,5 \pm 0,5$ ,  $v_2 = 573,4 \pm 1,0$  и  $v_3 = 930,7 \pm 5$ . Для сравнения получены также полосы поглощения твердого  $\text{N}_2\text{F}_4$  при  $77^\circ\text{K}$  в области  $300—4000 \text{ см}^{-1}$ . Вычислены силовые постоянные  $\text{NF}_2$  (в  $10^5 \text{ дн/см}$ ):  $K_1 = 5,1 \pm 0,5$ ,  $K_\alpha/r^2 = 1,15 \pm 0,15$ ,  $K_{11} = 1,5 \pm 0,5$  и  $K_{1\alpha}/r = 0,4 \pm 0,3$ . Исследована кинетика диссоциации  $\text{N}_2\text{F}_4$ . При комнатной т-ре и давлении ниже 1 мм рт. ст. разложение  $\text{N}_2\text{F}_4$  происходит довольно медленно, а с увеличением т-ры до  $100^\circ$  период полураствора  $\text{N}_2\text{F}_4$  уменьшается до  $\sim 1$  сек. В предположении, что  $v_1 = 1074 \text{ см}^{-1}$ , по данным исследования ИК-спектра  $\text{NF}_2$  в газообразном состоянии,  $r_{\text{NF}} = 1,37 \text{ \AA}$  и  $\angle \text{FNF} = 104,2^\circ$ , вычислены термодинамич. функции  $C_p^0$ ,  $-(F^0 - H_0^0)/T$ ,  $S^0$  и  $(H^0 - H_0^0)/T$  для  $\text{NF}_2$  в идеальном газовом состоянии в приближении жесткий ротор — гармонич. осциллятор при давл. 1 атм и в интервале т-р  $273,15—3000^\circ\text{K}$ .

В. Юнгман

Х. 1963.14

9 Д201. ИК-спектр и термодинамические функции  
радикала  $\text{NF}_2$ . Hartopу Marglin D., Mayers  
Rollie J. Infrared spectrum and thermodynamic func-  
tions of the  $\text{NF}_2$  radical. «J. Chem. Phys.», 1962, 37,  
№ 3, 636—641 (англ.)

Измерены 3 основные колебательные частоты ра-  
дикала  $\text{NF}_2$  в азотной матрице при т-ре  $20^\circ\text{K}$   
( $v_1=1069,6 \pm 0,5 \text{ см}^{-1}$ ;  $v_2=573,4 \pm 1,0 \text{ см}^{-1}$ ;  $v_3=930,7 \pm$   
 $\pm 0,5 \text{ см}^{-1}$ ). Исследован также ИК-спектр  $\text{N}_2\text{F}_2$  и под-  
тверждено, что диссоциация  $\text{N}_2\text{F}_4$  с образованием  
 $\text{NF}_2$  происходит при низком давлении. При  
комнатной т-ре и давлении ниже 1 мм рт. ст  
диссоциация  $\text{N}_2\text{F}_4$  происходит медленно и ускоряется  
с повышением т-ры. Длительность процесса диссо-  
циации порядка 100 сек. при комнатной т-ре и  
около 1 сек. при т-ре  $100^\circ\text{C}$ . Затабулированы термо-  
динамич. ф-ции, вычисленные для радикала  $\text{NF}_2$  обыч-  
ными методами. Указано, что хотя при расчетах ис-  
пользовались значения частот  $v_2$  и  $v_3$ , ошибка вслед-  
ствие этого пренебрежимо мало сказывается на значе-  
ниях термодинамич. ф-ций. Библ. 15 назв.

*NF<sub>2</sub>*

*ИК. спектр*

III - 3084

1962

13 Б137. Иинфракрасный спектр  $\text{NF}_2$ . Johnson  
Frederic A., Colburn Charles B. The infrared  
spectrum of  $\text{NF}_2$ . «Inorgan. Chem.», 1962, 1, № 2, 431—  
432 (англ.)

Получен ИК-спектр поглощения радикала  $\text{NF}_2$  в  
области 8—16  $\mu$ , возникающего при диссоциации  $\text{N}_2\text{F}_4$ .  
Для устранения наложения спектров  $\text{NF}_2$  и  $\text{NF}_4$  в луч  
сравнения спектрометра помещалась кювета с  $\text{N}_2\text{F}_4$   
под высоким давлением, что обеспечивало малое отно-  
сительное содержание в ней  $\text{NF}_2$ . В спектре наблю-  
даются сильные полосы у  $920$ ,  $980$  и  $730 \text{ см}^{-1}$  и слабая  
широкая полоса у  $1400 \text{ см}^{-1}$ . Ю. Мазуренко

*x·1964·13*

NF<sub>2</sub>

III - Зе84

1962

1Д141. ИК-спектр NF<sub>2</sub>. Johnson Frederic A.,  
Colburg Charles B. The infrared spectrum of NF<sub>2</sub>.  
«Inorgan. Chem.», 1962, 1, № 2, 431—432 (англ.)

Получен ИК-спектр поглощения радикала NF<sub>2</sub> в области 8—16  $\mu$ , возникающего при диссоциации N<sub>2</sub>F<sub>4</sub>. Для устранения наложения спектров NF<sub>2</sub> и N<sub>2</sub>F<sub>4</sub> в луч сравнения спектрометра помещалась кювета с N<sub>2</sub>F<sub>4</sub> под высоким давлением, что обеспечивало малое относит. содержание в ней NF<sub>2</sub>. В спектре наблюдаются сильные полосы у 920, 980 и 730  $\text{см}^{-1}$  и слабая широкая полоса у 1 100  $\text{см}^{-1}$ .

Ю. Мазуренко

40. 1963. 19.

NF<sub>2</sub>

enr8d by

OCH. 265041

111 - 3884

1962

The infrared spectrum of NF<sub>2</sub>. Frederic A. Johnson and Charles B. Colburn (Redstone Arsenal Res. Div., Huntsville, Ala.). *Inorg. Chem.* 1, 431-2(1962). By differential spectrophotometric technique, the infrared spectrum of NF<sub>2</sub> was detd. in the presence of N<sub>2</sub>F<sub>4</sub>. The difluoroamino radical, NF<sub>2</sub>, shows strong bands at 920, 980, and 730 cm.<sup>-1</sup>, with a weak broad peak at 1100 cm.<sup>-1</sup> Ernest J. Breda

C.A. 1962.57.3

2994e

1962

NF<sub>2</sub>, NF<sub>3</sub>  
negative charges

Some theoretical aspects of bonding in N-F compounds.  
Joyce J. Kaufman (RIAS, Baltimore, Md.). *J. Chem. Phys.* 37, 759-64(1962). A sepn. of the effects of substituent groups into distinct  $\sigma$  and  $\pi$  contributions and the influence of the  $\sigma$  and  $\pi$  contributions on Hamiltonians and wave functions of various cores has proved useful for describing several diverse phenomena in N-F compounds:  
(A) The "anomalous" difference in bond strengths in NF<sub>3</sub> and NF<sub>2</sub>, where the N-F bond in NF<sub>3</sub> is weaker than that in NF<sub>2</sub>; (B) the nonconstancy of the  $\delta_K$  value for F in ionization potentials of NF<sub>3</sub> and CF<sub>3</sub>, whereas other substituent group effects are const.; (C) the similarity between the effect of F on ionization potentials of NF<sub>2</sub> and of CF<sub>3</sub>.

CA

C.A. 1962-57-13

1581#8

NF<sub>2</sub>

1963

У14 Б227. Электроотрицательность NF<sub>2</sub>. Ettinger  
Raymond. Electronegativity of the difluoramino group.  
«J. Phys.-Chem.», 1963, 67, № 7, 1558—1559 (англ.)

Электроотрицательность дифторазотного радикала может быть определена тремя эмпирич. или полуэмпирич. методами. По ф-ле Горди  $\chi = 0,31 (n^* + 1)/r + 0,50$ , и значениям ковалентных радиусов по Шомакеру—Стивенсону, было найдено, что  $\chi_{NF_2} = 3,26$ . По ур-нию Уилмхерста, связывающему частоты валентных колебаний и электроотрицательность, найдено, что  $\chi_{NF_2} = 3,25$ . Наконец, по ур-нию Дэйли—Шулери для хим. сдвига и по измерениям протонного резонанса в дифтораминогруппе найдено,  $\chi_{NF_2} = 3,27$ . Среднее значение  $\chi_{NF_2} = 3,3$ .

С. Бацанов

26.1964.14

3989

1963

NE<sub>2</sub> ( D<sub>2</sub>' )

Henderson U.V., Goodfriend P.L.,  
Rhodes H.A., Woods H.P.

NASA Accession N H64-24916,

Rept. N AD 418278, Avail. OTS, 10pp.

1963

J

III-2349

1963

$\text{UF}_2 (\text{D}_2)$

Johnson Fredesic A., Colburn Charles D.

The infrared spectrum of  $\text{UF}_2$ .

"Inorg. Chem.", 1962, 1, p. 2,  
431-432 (Am.)

PP 00 1963, 1 D103

H0

1963

Bcp-5104-111

NF<sub>2</sub> u NF<sub>3</sub>

Chem. Mosc.

paers

Calculation of force constants for NF<sub>2</sub> and NF<sub>3</sub>. Yu. I. Kotov and V. M. Tatevskii (State Univ., Moscow). *Vestn. Mosk. Univ., Ser. II, Khim.* 18, No. 2, 3-5(1963). By assuming that the force consts. for NF<sub>2</sub> do not differ appreciably from those for NF<sub>3</sub>, the force consts. for both mols. are calcd. Assuming  $K_{q\alpha}' = 0$ , the following force consts. are obtained:  $K_q = 7.79$ ;  $K_\alpha = 2.35$ ;  $K_{qq} = 2.11$ ;  $K_{q\alpha} = 0.89$ ;  $K_{\alpha\alpha} = 0.14$  (all in units of  $10^6$  cm.<sup>-2</sup>). Frequencies calcd. from these force consts. differ from exptl. observations by 1-32/cm.

R. W. Buddemeier

- 1684

C.A. 1963.59.9

1108a

1963

ВФ - 5104-Ш

 $\frac{N F_2}{N F_3}$ 

20 Б75. Расчет силовых постоянных для молекул  $NF_2$  и  $NF_3$ . Котов Ю. И., Татевский В. М. «Вестн. Моск. ун-та. Химия», 1963, № 2, 3—5

В предположении одинаковости силовых постоянных, соответствующих изменениям длин связей N—F и валентных углов в молекулах  $NF_2$  и  $NF_3$ , на основе новых (более полных) эксперим. данных однозначно рассчитаны силовые постоянные указанных молекул. Полученные в результате расчета силовые постоянные воспроизводят частоты колебаний с максим. ошибкой в  $32 \text{ см}^{-1}$ , что является удовлетворительным (с учетом сделанного предположения об одинаковости силовых постоянных двух молекул).

Т. Ребане

Силовые  
постоянны

Х. 1963. 80

2454-111

$N_2F_4$  ( $\omega_e$ , силовые постоянные) 1963

$N_2H_4$ ,  $\underline{NF}_2$  } ( силовые постоянные )

$NF_3$ ,  $C_2F_6$  )

Котов Ю.И., Татевский В.М.

Вестн. Моск. ун-та "Химия", 1963,  
№ I, 10-12

Расчет колебательного спектра  
молекулы тетрафторгидразина  $N_2F_4$ .

Рр., 1963, 8D50



Есть оригинал

$NF_2$

Bohn R. K.

1964

Dissert. Abstes, 1964, 25, N6, 3282

III/120 Исследование структурных и оптических методами электронной микроскопии гидратов:  $H_2O$  - в  
транс - гидраты гуаицена,  
 $NF_2$ ,  $N_2F_4$ ,  $XeF_4$  и  $XeF_6$ .

(см.  $N_2F_2$ )

NF<sub>2</sub>

Bohn R. K.

1964

Thesis, Ithaca, N.Y., Cornell  
Univ., 118 p.

Исследование спектральных свойств  
одного из изотопов трехпротонной  
гелий-атома:  $\mu_{\text{sc}} = 2$  неравн-

диспергировано,  $NF_2$ ,

$N_2F_4$ ,  $XeF_4$  и  $XeF_6$

(см.  $N_2F_2^{III}$ )

*NF<sub>2</sub>*

*Снекур*

1964

УЗ Б170. Изоляция и накопление свободных радикалов на молекулярных ситах. II. Спектр электронного парамагнитного резонанса дифторида азота (NF<sub>2</sub>). Солдуков Чарльз Б., Эттингер Рэймонд Джонсон Фредерик А. Isolation and storage of free radicals on molecular sieves. II. The electron paramagnetic resonance spectrum of nitrogen difluoride (NF<sub>2</sub>). «Inorgan. Chem.», 1964, 3, № 3, 455—457 (англ.)

При адсорбции N<sub>2</sub>F<sub>4</sub> на мол. ситах при 600—700 м.м в ряде случаев обнаружены сигналы ЭПР от радикалов NF<sub>2</sub>. Исследованы сите типа 13X, 10X, 5A, 4A, 3A и силикагель. Сняты спектры ЯМР адсорбированного N<sub>2</sub>F<sub>4</sub> на ситах. Сообщение I см. РЖХим, 1964, 18Б131.

С. Солодовников

*x. 1965. 3*

NF<sub>2</sub>

(u.n.)

| BQ-4293 - II | 1964

Farmer J.B.,  
Gerry M.C.L., ...  
"Molec. Phys.", 1964,  
8 (3), 253-64

*NF<sub>2</sub>-сингр* 5 Д241. Спектр поглощения NF<sub>2</sub>. Goodf-  
riend P. L., Woods H. P. The absorption spectrum  
of NF<sub>2</sub>. «J. Molec. Specfosc.», 1964, 13, № 1, 63—66  
(англ.)

1964

(М.Н.)

В области 2600 Å получен спектр радикала NF<sub>2</sub> с разрешением 10 Å/мм, находящегося в равновесии с N<sub>2</sub>F<sub>4</sub> (давл. 400—760 мм рт. ст., комнатная т-ра). На основании анализа корреляционных диаграмм Уолша для молекул AB<sub>2</sub> произведено частичное отнесение полос к тем или другим электронным состояниям.

B9P-5256-III

ф. 1965. 58

NF<sub>2</sub>  
B90-5256-III

1964

Absorption spectrum of NF<sub>2</sub>. P. L. Goodfriend and H. P. Woods (Texaco Expt. Inc., Richmond, Va.). *J. Mol. Spectry.* 13(1), 63-6(1964). In the course of flash-photolysis kinetic-spectroscopy expts. on N-F-contg. compds., it was found necessary to examine the absorption of the NF<sub>2</sub> radical at 2600 Å. reported by Johnson and Colburn (*CA* 57, 2994e). They demonstrated that NF<sub>2</sub> is responsible for this absorption, but limited their description of the spectrum to the statement that it was a poorly structured band with a max. at 260 m $\mu$  with a 20-m $\mu$  half-width. Their primary use of this absorption was to demonstrate the existence of the equil. N<sub>2</sub>F<sub>4</sub>  $\rightleftharpoons$  2NF<sub>2</sub>, and to measure the equil. const. as a function of temp. This absorption was at a higher dispersion.

RCKP

Sur

C.A. 1964 Co N13 15310 E



В9-5253-III

1964

NF<sub>2</sub>

Синдр.

10 Д132. Об электронном спектре поглощения радикала NF<sub>2</sub>. Кузнецова Л. А., Кузяков Ю. Я., Татевский В. М. «Оптика и спектроскопия», 1964, 16, № 3, 542—543

Измерен спектр поглощения в области 2600 Å радикала NF<sub>2</sub>, полученного при нагревании тетрафторгидразина при давл. 5—200 мм рт. ст. в алундовой трубке с кварцевыми окошками. Показано, что интенсивность поглощения при 2600 Å достигает максимума при т-ре 300—400° С и затем уменьшается, исчезая при 750° С; поглощение состоит из ряда диффузных полос. Принято, что интервал между полосами прогрессии, равный в среднем  $390 \text{ см}^{-1}$ , является частотой деф. кол. радикала NF<sub>2</sub> в возбужденном состоянии. Д. Глебовский

об. 1964. 108

BP-5253-III

1964

1 Electronic absorption spectrum of the NF<sub>2</sub> radical. L. A. Kuznetsova, Yu. Ya. Kuzyakov, and V. M. Tatevskii. *Optika i Spektroskopiya* 16(3), 542-43(1964). The absorption spectrum of N<sub>2</sub>F<sub>4</sub> was studied in the 2600-A. range. Bands occurring here are due to the NF<sub>2</sub> radical and consist of a series of diffuse bands. Spectra taken at various temps. show the marked temp.-dependence of these bands. The spectra and a table contg. the wavelengths of the diffuse bands are also presented.

Andrea Pall

C.A. 1964 01 VI 1848

В99-5253-III

1964

№ 2  
Синтез  
В99-III  
1964  
НД  
1964

У 22 Б88. Об электронном спектре поглощения радикала  $NF_2$ . Кузнецова Л. А., Кузяков Ю. Я., Татевский В. М. «Оптика и спектроскопия», 1964, 16, № 3, 542—543

Измерен спектр поглощения в области 2600 Å радикала  $NF_2$ , полученного при нагревании тетрафторгидразина при давл. 5—200 мм рт. ст. в алюидовой трубке с квар-

цевыми окошками. Показано, что интенсивность поглощения при 2600° достигает максимума при т-ре 300—400° и затем уменьшается, исчезая при 750°; поглощение состоит из ряда диффузных полос. Принято, что интервал между полосами прогрессии, равный в среднем  $390 \text{ см}^{-1}$ , является частотой деф. кол. радикала  $NF_2$  в возбужденном состоянии.

Д. Г.

В99-III  
1964

Л. А. Синтез  
1964

NF<sub>2</sub>

Nagarajan G.

1964

Indian J. Pure and Appl. Phys.,  
2, v 11, 341.-3.

Среднее арифметич. колеба-  
ние геометрических B, C, N, Al,

P и Zr.

(см. BF<sub>2</sub><sup>II</sup>)  
III

x. 1965. 18

$\text{BH}_2$ ,  $\text{CH}_2$ ,  $\text{Si H}_2$ ,  $\text{NH}_2$ ,  $\text{PH}_2$ ,  $\text{H}_2\text{O}$ . (AS16, 93+1)  
 $\text{H}_2\text{S}$ ,  $\text{CO}_2$ ,  $\text{CS}_2$ ,  $\text{NO}_2$ ,  $\text{SO}_2$ ,  $\text{ClO}_2$ ,  $\text{NF}_2$ ,  $\text{XeF}_2$ ,  
 $\text{HCO}$ ,  $\text{NHO}$ ,  $\text{HSiCl}$ ,  $\text{HSiBr}$ ,  $\text{NH}_3$ ,  $\text{PF}_3$ , 1964  
 $\text{PCl}_3$ ,  $\text{HCOH}$ ,  $\text{CO}_2\text{Cl}$ ,  $\text{COSCl}$ ,  $\text{C}_2\text{N}_2$ ,  $\text{C}_2\text{H}_2$   
(см.рукопись и иллюстр.)

Walsh A.D.

Adv. Rept. Progr. Chem. (Chem. Soc.  
London), 1964, 61, 8-26 658ecg

bap ecg

60

CA66

NF<sub>2</sub> IV-4318 Simons J. P.

1965

J. Chem. Soc., 1965, Oct., 5406.

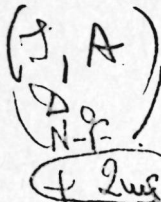
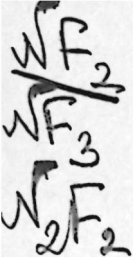
Физико-химическое исследование  
гидролиза карбоната и ги-  
дрокарбонатного реагента -

дт.

(см. CF<sub>2</sub><sup>III</sup>)

дт. 1966. 6 № 100

1965



The feasibility of predicting properties of N, F oxidizers by quantum chemical calculations. Joyce J. Kaufman, Louis A. Burnelle, and Jon R. Hamann (Res. Inst. for Advanced Studies, Martin Co., Baltimore, Md.). *Advan. Chem. Ser.* 54, 8-22 (1965)(Eng). The following properties are examp.: relative stabilities, possible existence of new species, ionization potentials, electron affinities,  $\pi$ -bonding, and charge distributions through extended Hueckel L.C.A.O.-M.O. calens. and through analysis of the calcd. wave functions and energy levels. It has been possible to: (1) predict the order of the N-F bond lengths in  $\text{NF}_2$ ,  $\text{NF}_3$ , *trans*- $\text{N}_2\text{F}_2$ , and *cis*- $\text{N}_2\text{F}_2$  and of the N-N bond lengths in *cis*- and *trans*- $\text{N}_2\text{F}_2$  (before knowing exptl. results); (2) predict the greater stability of *cis*- $\text{N}_2\text{F}_2$  relative to *trans*- $\text{N}_2\text{F}_2$ ; (3) reproduce the exptl. ionization potential of  $\text{NF}_2$ ; (4) predict the order of the sym. N-F stretch frequencies in  $\text{NF}_2$ ,  $\text{NF}_3$ , *trans*- $\text{N}_2\text{F}_2$ ,  $\text{N}_2\text{F}_4$ , and *cis*- $\text{N}_2\text{F}_2$ ; (5) verify the supposition of  $\pi$ -bonding in  $\text{NF}_2$  and  $\text{NF}_3$  leading to a greater N-F bond dissociation energy in these species than in  $\text{NF}_3$ . 23 references.

RCBI

XIII - 16410

C.A. 1966. 65: 4  
4671 lg



4330-III

1965

Re ( NF<sub>2</sub>, NF<sub>3</sub>, T<sub>PAFC</sub> -N<sub>2</sub>F<sub>2</sub>, UIC N<sub>2</sub>F<sub>2</sub>)

J ( NF<sub>2</sub> )

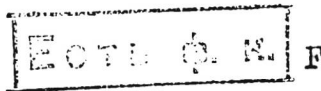
Kaufman J.J., Burnelle L.A., Hamann J.K.

AIAA Bull., 1965, 2, N 3, 109

The feasibility of predicting properties of oxidizers by quantum chemical calculations

PX., 1966, 13659

J



NF<sub>2</sub>

1966

Comment on NF<sub>2</sub> decomposition behind shock waves. A. P. Modica and D. F. Hornig (Princeton Univ., Princeton, N.J.). *J. Chem. Phys.* 45(2), 760(1966)(Eng). In the uv absorption study of the NF decompr. (CA 63, 15611d), the reaction was not investigated beyond 2000°K., because chemiluminescence interfered with the absorption analysis above 1900°K. Oscillograms show the result of the NF radical absorption at 2600 Å. behind a shock wave into a 1:103 N<sub>2</sub>F<sub>4</sub>-Ar mixt. at an initial pressure of 5 cm. Hg, the shock temp. being 1924°K. There was gas emission in the 2350-3000-Å. wavelength region. A mechanism is offered that predicts a shorter induction period for N<sub>2</sub> and the initial rate ratio N<sub>2</sub>/NF<sub>3</sub>/NF<sub>2</sub> = 1/2/4, while explaining the N<sub>2</sub>F mass peak and the uv chemiluminescence. C. E. Beland

C.A. 1966-65-9  
12960 f

$NF_2$   
(cl. w)  
K.B. uex.  
secret

1966

Pople J.A., Segal G.A.  
J. Chem. Phys., 1966, 44,  
N 9, 3283 - 3296.

an  $BH_3$ , III

$N_2P_4$  / (compounds, 2e) 1967  
 $NP_2$  XIII 1604

Bohn R.K., Bauer S.H.

Indian. Chem., 1967, 6, 12, 304-309 (errata)

An electron diffraction study of the  
structures of  $NP_2$  and  $N_2P_4$ .

Publ. 1969, 186-103

10 E 97 b 4. ④

NF<sub>2</sub>

спектр в  
матрице

Jacob M.E.,  
Milligan D.E.

J. Chem. Phys.  
46, N 1, 184

1964  
177

Образование и р-ция атомар.  
ного фтора в твердом  
мат. Когебатческий и  
заключившись спектров  
свободного радикала  
HF. (Сл. HF) III

NF<sub>2</sub>, CF<sub>3</sub>

NO<sub>2</sub>

(matrixes)

0030P

XII - 386

1967

- 82541t Electron spin resonance studies of free radicals at liquid helium temperature. C. A. McDowell (Univ. British Columbia, Vancouver, Can.). *Proc. Int. Conf. Spectrosc., 1st, Bombay 2*, 383-6(1967)(Eng). A brief review is given on E.S.R. studies of free radicals at liq. He temps. by the matrix isolation technique. E.S.R. spectra of the NO<sub>2</sub> radical in N, CO<sub>2</sub>, H, Ar, and Ne lattices, NF<sub>2</sub> and CF<sub>3</sub> radicals in inert gas matrixes, and the photolysis products of NH<sub>3</sub> in a Kr matrix are discussed. In many cases, partial orientation of the radicals in inert gas matrixes is possible at these temps. Christopher Deverell

C.A. 1968-68-18



NF  
2

Zusehens H. J.

1988

Allgem. und. prakt. Chem.,  
19, Nr. 2, 1-4.

Немногое успехи в  
области физикохимиче-  
ских методов  
нанов.

(см. 18F) III

NF<sub>2</sub>

Gordon M.S.

1968

J. Chem. Phys.

1968, 49, N10, 4643-50.

paczer  
pabrob.  
reaccep.

(See CH<sub>2</sub>; III)

NF<sub>2</sub>

1969

Bruns, Roy E.

Смоб.  
наст  
1969, 30, № 3, Т063-64.  
"Diss. Abstr. Int. B."

(еер. OF<sub>2</sub>; III)

Brus. noes (OF<sub>2</sub>, NF<sub>2</sub>, CF<sub>2</sub>) 11/14/13 1969  
Bruns R., Raff L., Derlin <sup>Z.P.</sup>  
~~MEGTS~~  
Theoret. chm. acta, 1969, 14, N<sup>o</sup> 3,  
232-241 (austr.)

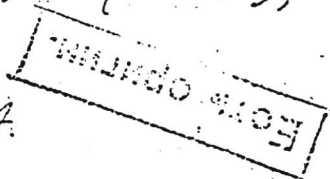
A theoretical study of the bond-  
bond interaction force constant  
in XF<sub>2</sub> molecules. XI 878

B.I.B. 1973 29162 Wd

$\delta(NF_3, NF_2^+, NF_3^+)$  13 XII 177 1969

$ONF_3$  ( $SOHf$ , A.P. unpub);  $D_0(NF_2-F)$ ;  
 $D_0(NF-F)$ ;  $D_0(NF)$

Dibeler V. H., Walker J. A.



Inorgan. Chem., 1969, 8, no. 8, 1728-1733 (and)  
Mass spectrometric study of photoionization  
XIV. Nitrogen trifluoride and trifluoromimic oxide.

Pub. No. 1970, 75101 10 8



1969

NF<sub>2</sub>

NF<sub>3</sub>; PF<sub>3</sub>

rb. recd  
pacem

Olmstead Co. Ct.

Unit Wisconsin, Madison,  
Wis., 1969, 120 (8<sup>1/2</sup> x 11)

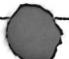
avail. Unit. Microfilms,  
Ann Arbor, Mich.

Order No 70-3651. From  
Diss. Abstr. Int. B, 1970;

31, 2,

542

SNDC



NF<sub>2</sub><sup>+</sup>

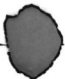
1970

11 Б99. Криогенная масс-спектрометрия фторсодержащих частиц II. Применения для синтеза с помощью пиролиза, фотолиза и микроволнового разряда. Cristy S. S., Mamantov G. Cryogenic mass spectrometry of reactive fluorine-containing species. II. Applications to synthesis via pyrolysis, photolysis and microwave discharge. «Int. J. Mass Spectrom. and Ion Phys.», 1970, 5, № 3—4, 319—328 (англ.)

А.Р.

Три типа систем напуска масс-спектрометра использованы в кач-ве низкот-рных реакторов для изучения р-ций пиролиза, фотолиза и р-ций в высокочастотном разряде. В результате пиролиза тетрафторгидразина в присутствии избытка NO, получен нитрозодифторамин NF<sub>2</sub>NO (I), изучен его масс-спектр и измерены потенциалы появления NF<sub>2</sub><sup>+</sup> из NF<sub>2</sub>, N<sub>2</sub>F<sub>4</sub> и I, равные 11,79 ± 0,12;

X. 1971. 11



(+2)



$12,63 \pm 0,1$  и  $12,12 \pm 0,12$  соотв. Полученные данные использованы для вычисления энергии связи  $D_0(N-N)$  в I ( $D_0 = 19,4 \pm 3,9$  ккал/моль). В составе продуктов фотолиза  $CF_2N_2$  идентифицированы  $C_2F_4$  и  $CF_2NNCF_2$ . Предлагается возможное строение продукта с массой 178. При высокочастотном разряде смеси  $NF_3$  и  $Cl_2$  (1 : 1) синтезированы  $ClF$  и  $N_2$ . Сообщ. см. пред. реферат.

М. Туркина

1970

NF<sub>2</sub>

(14766s) Microwave rotational spectrum of the NF<sub>2</sub> free radical. Hrubesh, Lawrence W.; Rinehart, Edgar A.; Anderson, Roger Edward (Lawrence Radiat. Lab., Univ. of California, Livermore, Calif.). *J. Mol. Spectrosc.* 1970, 36(2), 354-6 (Eng). Microwave rotational absorption lines of the NF<sub>2</sub> free radical have been obsd. with a highly sensitive K-band cavity spectrometer. The obsd. hyperfine splitting of these lines is consistent with a J-type coupling scheme for the 4 different angular momenta involved in the NF<sub>2</sub> radical. RCKP

M. b.

Aug 1970

C.A. 1970

73.2d

NF<sub>2</sub>

6 Д439. Микроволновый вращательный спектр свободного радикала NF<sub>2</sub>. Hrubesh Lawrence W., Rinehart Edgar A., Anderson Roger E. Microwave rotational spectrum of the NF<sub>2</sub> free radical. «J. Mol. Spectrosc.», 1970, 36, № 2, 354—356 (англ.)

Исследован вращательный спектр газообразного радикала NF<sub>2</sub> (I) в области 18—26,5 ГГц. Использован резонансный спектрометр с диодом Ганна. Образцы I получены при диссоциации стабильной молекулы <sup>14</sup>N<sub>2</sub><sup>19</sup>F<sub>4</sub> при повышении температуры (от 50 до 100° С) и понижении давления (от 100 до 200 мм рт. ст.). Наблюденный спектр включает хорошо разрешенные переходы (идентифицированные как 12<sub>39</sub>→13<sub>212</sub>) и слабо разрешенные переходы (идентифицированные как 7<sub>26</sub>→8<sub>17</sub>). Сверхтонкая структура спектра связана с взаимодействием спина электрона с двумя различными ядерными спинами I<sub>N</sub> и I<sub>F</sub> молекулы I.

Г. П.

Ф. 1971

• 68

1970

1970

NF<sub>2</sub>

11 Б267. Микроволновый вращательный спектр свободного радикала NF<sub>2</sub>. Hrubesh Lawrence W., Rinehart Edgar A., Anderson Roger E. Microwave rotational spectrum of the NF<sub>2</sub> free radical. «J. Mol. Spectrosc.», 1970, 36, № 2, 354—356 (англ.)

Исследован в области 18 000—26 500 Мгц МВ-вращательный спектр радикала NF<sub>2</sub> (I), полученного при диссоциации N<sub>2</sub>F<sub>4</sub> (*t* 50—100°). Идентифицированы вращательные переходы I с частично или полностью разрешенной тонкой структурой: 12<sub>39</sub> ← 13<sub>212</sub> (25 495—26 055 Мгц), 7<sub>26</sub> → 8<sub>17</sub> (25 506—25 819 Мгц) и, вероятно, 16<sub>413</sub> ← 17<sub>314</sub> (~25 606 Мгц). Тонкое расщепление в МВ-

М.И.

X. 1971. 11

вращательном спектре I обусловлено спин-вращательным взаимодействием (дублетное расщепление); каждая линия дублета расщеплена на триплеты в результате взаимодействия свободного электронного спина с результирующим спином двух ядер F(спин 1/2), а каждая линия этого триплета вновь расщеплена на триплеты в результате взаимодействия со спином ядра N<sup>14</sup> (спин 1).

А. П. Александров

$\text{NO}_2$ ,  $\text{Nf}_2$  (waspire) 13 XII 387 1970

McDowell C.A., Nakajima H., Laghuerathian P.

Can. J. Chem., 1970, 48, N°5, 805-17 (全文)

Electron spin resonance studies  
of oriented  $\text{N}_2\text{O}_2$  dioxide and  
 $\text{N}_2\text{F}_2$  difluoride in inert  
matrices at low temperatures.

106 Ⓢ

CA 1970, 72, N22, 116528U

1971

NF<sub>2</sub>NF<sub>2</sub><sup>+</sup>

(9)

9 Д260. Потенциалы ионизации радикала NF<sub>2</sub> по данным фотоэлектронной спектроскопии и расчеты по методу INDO. Cognford A. B., Frost D. C., Herting F. G., McDowell C. A. Ionization potentials of the difluoroamino radical by photoelectron spectroscopy and INDO calculations. «J. Chem. Phys.», 1971, 54, № 5, 1872—1873 (англ.)

По фотоэлектронным спектрам измерены потенциалы ионизации (ПИ) радикала NF<sub>2</sub>. Произведено вычисление энергий возбуждения иона NF<sub>2</sub><sup>+</sup>. Результаты расчетов сравниены с эксперим. данными. Теория дает для основного состояния радикала NF<sub>2</sub> электронную конфигурацию

+1

☒

ф. 1971. №

$3a_1^2 2b_2^2 4a_1^2 1b_2^2 5a_1^2$   $1a_2^2 4b_2^2 6a_1^2 2b_1$ . Показано, что первый ПИ, соответствующий удалению разрыхляющего электрона  $2b_1$ , приводит к образованию иона  $NF_2^+$  в основном состоянии  $^1A_1$ , отвечающем изогнутой форме молекулы с углом между связями  $103^\circ$ . Второй и третий ПИ приводят к образованию  $NF_2^+$  в состояниях  $^3B_1$  и  $^1B_1$ . Отмечено хорошее совпадение результатов расчетов с экспериментом для двух первых ПИ и неудовлетворительное совпадение для более высоких. Библ. 11.

И. Дворников

NF<sub>2</sub>

1971

(104856c) Ionization potentials of the difluoroamino radical by photoelectron spectroscopy and INDO [intermediate neglect of differential overlap] calculations. Cornford, A. B.; Frost, D. C.; Herring, F. G.; McDowell, C. A. (Dep. Chem., Univ. British Columbia, Vancouver, B.C.). *J. Chem. Phys.* 1971, 54(5), 1872-3 (Eng). The photoelectron spectrum of the NF<sub>2</sub> radical has been measured. The spectrum shows evidence for 3 vertical ionization potentials at 12.10, 14.60, and 16.38 eV. The adiabatic 1st ionization potential is 11.62 eV. LCAO-INDO

calcns. were employed to deduce the excitation energies of the NF<sub>2</sub><sup>+</sup> ion, and these are compared with the exptl. values. The calcns. indicate that the <sup>1</sup>A<sub>1</sub> state of the bent NF<sub>2</sub><sup>+</sup> is lower in energy than the linear <sup>3</sup>S<sup>-</sup> state. Vibrational structure is clearly seen on the 1st band (1250 cm<sup>-1</sup>) and on the 2nd (520 cm<sup>-1</sup>), and there is evidence that both progressions belong to the symmetric stretching mode  $\nu_1(a_1)$ .

RCJQ

C.A. 1971. FY.20

+1



XIII-764

1971

rearr. comp. ( $NH_2, NO_2, \underline{N_2}$ )

Del Bene J. E.,

J. Chem. Phys., 1971, 54, n8,

3487- 3490



40

*NF<sub>2</sub>*

XIII - 1581

1971

2 Д516. Спектр комбинационного рассеяния радикала NF<sub>2</sub>. Selig H., Holloway J. H. Raman spectrum of the NF<sub>2</sub> radical. «J. Inorg. and Nucl. Chem.», 1971, 33, № 9, 3169—3171 (англ.)

Изучен спектр комб. рас. тетрафторгидразина, нагретого до 250° С. Кроме полос его транс- и гош-изомеров, в спектрах наблюдены узкие поляризованные линии 1074 и 572 см<sup>-1</sup>, отнесенные к симметричным вал. и деф. колебаниям радикала NF<sub>2</sub>. Антисимметричного колебания не наблюдалось, ибо оно практически запрещено. При более высоких т-рах спектры получить не удалось из-за

реакции образца с кремнием, стекла с образованием N<sub>2</sub>O. Библ. 9.

М. В. Тонков

00.1972.20

NF<sub>2</sub>

Vi

Patterson - Clegg

C.A. 1941

XIII - 1581

1941

45852n Raman spectrum of the NF<sub>2</sub> radical. Selig, H.; Holloway, J. H. (Dep. Chem., Argonne Natl. Lab., Argonne, Ill.). *J. Inorg. Nucl. Chem.* 1971, 33(9), 3169-71 (Eng). At 250°, 2 intense, sharp, and strongly polarized bands were obsd. at 1074 and 572 cm<sup>-1</sup> corresponding to the totally sym. and bending fundamental vibrations of the NF<sub>2</sub> radical, resp. The anti-sym. stretching mode was not obsd.

45.24

NF<sub>2</sub>

1972

Carsky P., Zahradník R.,

Zl.  
čísp.

"Theor. chim. acta", 1972,  
26, 141-78.

○ (csp BH<sub>2</sub>, II)

$\text{NF}_2$

XI - 348g

1972

$\text{ClO}_2$

$(\text{CF}_3)_2\text{NO}$

(y)

42669g. Photoelectron spectra of free radicals. Cornford, A. B.; Frost, D. C.; Herring, F. G.; McDowell, C. A. (Dep. Chem., Univ. British Columbia, Vancouver, B.C.). *Faraday Discuss. Chem. Soc.* 1972, No. 51, 55-63 (Eng). The photo-electron spectra of the free radicals  $\text{NF}_2$ ,  $\text{ClO}_2$ ,  $(\text{CF}_3)_2\text{NO}$ , and  $\text{SO}_2\text{F}$  were obtained, and semi-empirical SCF MO valence, were performed to aid in assigning the ionization potentials.

72 

C.A. 1974. 80. 18

NF<sub>2</sub>

Kilcast J.  
at el

1892

secret  
per. cont

J. Chem. Soc. Faraday  
Trans. 1892, Part 2,  
68, N3, 435-43

X 1892 15

III, Cell P 1892

NF<sub>2</sub>

1972

11540s Calculation of hyperfine coupling consta.  
ganic radicals. McCain, Douglas C.; Palke, William  
Chem., Univ. California, Santa Barbara, Calif.).  
*Phys.* 1972, 56(10), 4957-65 (Eng). Hyperfine coupling consts.  
have been calcd. for the well-known radicals HCO, NO<sub>2</sub>, NF<sub>2</sub>,  
ClO<sub>2</sub>, and CF<sub>3</sub> as well as a large no. of related species. An SCF  
Hartree-Fock-type approach was used with a min. basis set of  
Slater-type orbitals to obtain MO coeffs. of the singly occupied  
orbital. Some of the coupling consts. were obtained directly  
from the ab initio calcns.; others were estd. by use of semiem-  
pirical relations. Comparison with exptl. data shows fair agree-  
ment. In addn., the structures of NF<sub>2</sub>, O<sub>3</sub><sup>+</sup>, O<sub>3</sub><sup>-</sup>, and CF<sub>3</sub> were  
computed.

C. F. 1972. 44. 2  
pacref

(+ 3)



C. F. 1972. 44. 2

$H_2O$ ,  $H_2S$ ,  $H_2Se$ ,  $CO_2$ ,  $SO_2$ ,  $SeO_2$ ,  $BO_2$ ,  
 $NO_2$ ,  $ClO_2$ ,  $CF_2$ ,  $SiF_2$ ,  $GeF_2$ ,  $NF_2$ ,  $OF_2$   
 $MgF_2$ ,  $CaF_2$ ,  $SrF_2$ ,  $BaF_2$ ,  $Cs_2$ ,  $Cs_2$  1942  
(C. W. Wilson, J. Phys.) IX 3978

Timmons G.,  
J. Chem. Phys., 1942, 56, N9,  
4310-13

10 10

$\frac{wF_2}{2}$

$\angle 103^\circ$

$\chi = 2,61 \text{ а.е.з.}$   $\chi^2 B_1$

$\delta A, \angle 101,6^\circ$

$\chi = 2,646 \text{ а.е.з.}$

Thomson C., Brotschie D.A.

1972

Chem. Phys. Lett. 1972, 16, N3, 573.

Ил. исп. пакет.

аннот 3691

если отсек у  
рамбиды.

$\text{BH}_2$ ;  $\text{NH}_2$ ;  $\text{HCO}$ ;  $\text{NO}_2$ ;  $\text{NF}_2$ ; (pacrem, I, 1072)  
 $\text{HNCN}$ ;  $\text{BF}_2$ ;  $\text{H}_2\text{NO}$ ;  $\text{H}_2\text{CN}$  (reou. epyskm.) 101  
XIII 2061 Zahradník R., Čársky P. II, 1315

Theor. chim. acta, 1972, 27, N<sub>2</sub>, 121-

-134 (asym.)

Open shell CNDO treatments on  
small and aliphatic radicals.  
Electronic spectra and some  
ground state properties.

Bc Rec, 1973, 7527

10



15

NF<sub>2</sub>

XII - 2075

1973

7Д142. Электронная структура радикала NF<sub>2</sub>.  
Brown R. D., Burden F. R., Hart B. T., Williams G. R. The electronic structure of the NF<sub>2</sub> radical. «Theor. chim. acta», 1973, 28, № 4, 339—353. (англ.;  
рез. нем.)

*geom.  
структ*  
В рамках неограниченного метода Хартри—Фока (НХФ) произведены неэмпирич. расчеты радикала NF<sub>2</sub> (основное состояние  $^2B_1$ ). Использовались минимальный слэтеровский, два минимальных гауссовых и один расширенный гауссов (РГ) базисы. Значения физич. величин, связанных со спином, вычислялись как с волниф-цией НХФ, так и после исключения вклада квартетного состояния. Пространственные части соответству-

апр. 1973 № 7

ющих орбиталей для различных спинов заметно отличаются друг от друга. Представлена простая картина распределения электронной плотности в  $\text{NF}_2$  по локализованным орбиталям, в которой три несвязывающих электрона находятся на пространственно разделенных орбиталях атома азота. Сравнение расчетных и экспериментальных данных показало, что использование базиса РГ с аннигиляцией ближайшей спиновой компоненты позволяет достаточно хорошо определять физич. свойства молекул, зависящие от распределения зарядовой и спиновой плотности.

В. И. Барановский

$\text{NF}_2$

XIII - 2075

1973.

129983n Electronic structure of the nitrogen difluoride radical. Brown, Ronald Drayton; Burden, F. R.; Hart, B. T.; Willianis, G. R. (Dep. Chem., Monash Univ., Clayton, Aust.). *Theor. Chim. Acta* 1973, 28(4), 339-53 (Eng). Ab initio unrestricted Hartree-Fock (UHF) calcns. were performed on the radical  $\text{NF}_2$ , by using a minimal basis Slater set, 2 minimal basis Gaussian sets, and a Gaussian set of approx. double-zeta accuracy. The comparison of these basis sets in the calcn. of 1-electron charge-dependent properties showed that near double-zeta accuracy  $2p$  functions are necessary to give reliable values. Single annihilation of the UHF wave functions calcd. with basis sets contg. near double-zeta  $2p$  functions gave an accurate representation of the anisotropic coupling consts. at the N and F atoms. Less satisfactory agreement with the exptl. isotropic coupling consts. was found with all calcns.

C.A. 1973. 78 n20

Springer

NF; NF<sub>2</sub>; N<sub>2</sub>F<sub>4</sub>(I); N<sub>2</sub>F<sub>4</sub>(D<sub>0</sub>); NF<sub>2</sub>(D) 1973

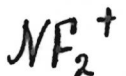
Fauer S.N., Hudson R.Z., XIII 2181

J. Chem. Phys., 1973, 58, N<sub>2</sub>, 581-7  
(asym.)

Mass spectrometer studies of  
tetrafluoroethylene and the  
difluoroamino radical.



30711.8704  
TE,Ch



40771

ЭМ. СР

1973  
04-982  
\*

Harrison James E., Eakers Charles W.

Electronic structure of reactive intermediates. The nitrenium ions  $NH_2^+$ ,  $NHF^+$ , and  $NF_2^+$ .

"J. Amer. Chem. Soc.", 1973, 95, N 11,  
3467-3472

(англ.) 0913 ник.

894 897 0906

(одн. так же

$NH_2^+$  и

винити

NF<sub>2</sub>

Nakatsuji Hiroshi

1973

2004.  
смфыкі.

"J. Amer. Chem. Soc"

1973, 95, N<sub>2</sub>, 354-61.

"зарядка молекул в основных  
и близ. состояниях"

(ар. Bellz; III)

NF<sub>2</sub>

1973

Owens F.J., Adams G.F.

"J.Chem.Phys.", 1973, 59, N2, 981-982.

смешал  
засыпал

E<sub>i</sub>

(если HCO; III)

$\text{BeF}_2$ ,  $\text{BF}_2$ ,  $\text{CF}_2$ ;  $\text{NF}_2$ ,  $\text{OF}_2$  (recd 1973  
cup-pa  
18 4188 pacas)

OM. 4-359

Rothenberg S., Schaefer H.J.;  
J. Amer. Chem. Soc., 1973,  
95, N7, 20 95-2100

(4)

10

pqd 73

30426.8762

TE,SIS,Ch,Ph,  
Ex-C

NF<sub>3</sub>

40771

гнн. молекул

1973

4-359

Rothenberg Stephen, Schaefer Henry F.,  
III.

Molecular properties of the triatomic  
difluorides BeF<sub>2</sub>, BF<sub>2</sub>, CF<sub>2</sub>, NF<sub>2</sub>, and OF<sub>2</sub>.

"J. Amer. Chem. Soc.", 1973, 95, N 7,  
20915-2100

(англ.)

0863 БИК

850 852

856

ВИНТИ

NF<sub>2</sub>

Summer 2937

1934.

N. F. Baird, R. P. Barr,

Receipts.

N. B. See Y.

pacem

Theor. chim. Acta, 1974,  
36, 125-34

\*-45-7121

1974

NF<sub>2</sub>

2 Д443. Микроволновый спектр NF<sub>2</sub>. Brown R. D., Burden F. R., Godfrey P. D., Gillard I. R. Microwave spectrum of NF<sub>2</sub>. «J. Mol. Spectrosc.», 1974, 52, № 2, 301—321 (англ.)

В диапазоне 13—65,2 ГГц с использованием спектрометра с зеемановской модуляцией исследован микроволновый спектр свободного радикала NF<sub>2</sub> в основном электронном состоянии  $^2B_1$ , полученного из N<sub>2</sub>F<sub>4</sub> путем нагрева до 60—70° С. Идентифицировано ~350 линий сверхтонкой квадрупольной структуры вращательных переходов NF<sub>2</sub> в основном колебательном состоянии. Определены значения постоянных вращательных и центробежные искажения ( $A=70496$ ,  $B=11872,24$ ,  $C=10136,46$  МГц,  $\tau_{aaaa}=-7,75$ ,  $\tau_{yyyy}=-0,081$ ,  $\tau_{aabb}=0,297$ ,  $\tau_{abab}=-0,126$  МГц), постоянных квадруполь-

и.н;

Чайков

9.1975. №2

ной связи ядра азота ( $\chi_{aa}=5,59$ ,  $\chi_{bb}=-0,73$ ,  $\chi_{cc}=-4,86$  МГц) и постоянных взаимодействия электронного и ядерных спинов с вращением радикала в целом. Вычислены структурные параметры ( $NF=1,349\text{ \AA}$ ,  $FNF=103^{\circ}20'$ ), силовые и кориолисовые постоянные. Полученные по центробежным постоянным значения частот колебаний согласуются с ИК-данными.

М. Р. Алиев

\* 4-7121

1974

NF<sub>2</sub>

и. б. спектр

4 Б284. Микроволновый спектр NF<sub>2</sub>. Brown R. D., Burden F. R., Godfrey P. D., Gillard I. R. Microwave spectrum of NF<sub>2</sub>. «J. Mol. Spectrosc.», 1974, 52, № 2, 301—321 (англ.)

С помощью МВ-спектрометра с зеемановской модуляцией и зеемановского спектрометра со штарковской модуляцией измерены частоты и интенсивности ~350 линий, являющихся компонентами мультиплетов 21 вращательного перехода молекулы NF<sub>2</sub> и расположенных в частотном интервале от 13,0 до 65,2 Гц. Измеренные линии идентифицированы с помощью расчетной программы с учетом взаимодействия молекул вращения с электронным спином и с ядерными спинами F и N, что потребовало ввода 18 независимых постоянных. Определены вращательные постоянные в

х. 1975. н.

Мгц:  $A = 70\,496 \pm 2$ ,  $B = 11872,24 \pm 0,2$ ,  $C = 10136,46 \pm 0,2$  и  
постоянные центробежного искажения в Мгц:  $\tau_{aaaa} =$   
 $= -7,75 \pm 0,2$ ,  $\tau_{babb} = -0,081 \pm 0,02$ ,  $\tau_{aabb} = 0,297 \pm 0,03$ ,  
 $\tau_{abab} = -0,126 \pm 0,06$ . Определено 14 постоянных различ-  
ных взаимодействий и полученные значения сопоставле-  
ны с расчетными данными. Из вращательных постоян-  
ных вычислена  $r_0$  структура:  $r_{NF} = 1,3494$  Å,  $\angle FNF =$   
 $= 103^\circ 20'$ . Из постоянных центробежного искажения вы-  
числены силовые постоянные, колебательные, частоты  
и постоянные кориолисова взаимодействия. По эффекту  
Штарка для двух переходов определен дипольный мо-  
мент:  $\mu = 0,136 \pm 0,01$  D. Основное электронное состоя-  
ние идентифицировано как  $^2B_1$ . С. Н. Мурзин

\*5-7121

1974

NF<sub>2</sub>

(M.N.) 222

70529a Microwave spectrum of nitrogen difluoride radical.  
Brown, R. D.; Burden, F. R.; Godfrey, P. D.; Gillard, I. R.  
Dep. Chem., Monash Univ., Clayton, Aust.). *J. Mol. Spectrosc.* 1974, 52(2), 301-21 (Eng). About 350 lines in the microwave spectrum of NF<sub>2</sub> were measured in various ranges of frequency between 13.0 and 65.2 GHz by using 2 types of Zeeman effect spectrometers. Complete assignment of all lines was achieved and, via the general microwave computer program SPINRO, the rotational consts., centrifugal distortion consts., dipole moment, electronic spin-rotation coupling consts., the consts. for the coupling of the several nuclear spins with the electron spin and the N quadrupole coupling consts. were all obtained. By drawing upon the obsd. vibrational frequencies the av. geometry of NF<sub>2</sub> was evaluated. Force consts. and Coriolis coupling consts. were also derived. The values of the spin coupling consts. for N and for F indicate that NF<sub>2</sub> is a  $\pi$ -radical with the spin d. mainly located on N. The multiplet patterns indicate that the ground electronic state wavefunction is antisym. to rotation about the mol. symmetry axis and so, for a  $\pi$ -radical, identifies the ground state as  $^2B_1$  as has previously been assumed for this mol.

C.A.1974, 81 n12.

40418.3698  
Ch, Ph, TE

NF<sub>2</sub> N-4054 1974  
96200 02 15-4647

Brown R.D. ± Williams G.R.. Ab initio calculations on some small radicals by the unrestricted Hartree-Fock method. "Chem. Phys.", 1974, 3, № 1, 19-34  
(англ.)

0008 нск

074 074 080

ВИНИТИ

1974



Pugdepr.

Самоуки

Ин. оптоенз

139438u Transient species in the photolysis of difluoroamino radical. Collins, R. J.; Husain, D. (Dep. Phys. Chem., Univ. Cambridge, Cambridge, Engl.). *J. Photochem.* 1974, 2(6), 459-64 (Eng). Photolysis of NF<sub>2</sub> was studied by kinetic absorption spectroscopy in the vacuum uv region. A series of diffuse bands in the region of 126-140 nm are attributed to Rydberg transitions of NF<sub>2</sub>. A no. of transient bands are attributed to NF in >1 electronic state, and some collisional rate data for these bands are reported.

C.A.1974.80.N24

$\gamma$  (H<sub>2</sub>O; F<sub>2</sub>O; X<sub>2</sub>Y<sub>2</sub> u X<sub>2</sub>CD,  $x, y = H, F, O_3$ ) 1974  
(CH<sub>2</sub> CH<sub>2</sub>)O; NO<sub>2</sub>; NF<sub>2</sub>; CF<sub>2</sub>; HOF; NDE  
xi 13959

Chong D.P., Herring F.G., McWilliams D.,

J. Chem. Soc. Faraday Trans., 1974,  
Part 2, 70, N<sub>2</sub>, 193-202 (sum.)

Computational study of vertical  
ionization potentials using the  
DINAO+FOCl method.

Proc. Roy. 1974, 90165

To neglect e & spin.  
(P) -10

10711

NFa

D'yakov A. B.

1974

Санкт-Петербург

(A.p)

"Второй Всесоюзный конгресс

по масс-спектрометрии, 1974,

Труды засед. И., Наука" 1974,

159-160

(см N.F.; III)

NF<sub>2</sub>

ammonia 3995

1974.

Harland P. W.  
Franklin J. L.

(Ae)

J. Chem. Phys.  
1974, 61, N5, 1621-35

NF<sub>2</sub>

N<sub>2</sub>F<sub>4</sub>

расчет  
электрон-  
энергии

(ΔH<sub>f</sub><sup>0</sup><sub>298</sub>)

-413 - 4905

1974

17 Б23. Неэмпирическое исследование молекулярных орбиталей молекул NF<sub>2</sub> и N<sub>2</sub>F<sub>4</sub> и константы сверхтонкого взаимодействия ЭПР в NF<sub>2</sub>. Hinchliffe A., Cobb J. C. An ab initio molecular orbital study of the NF<sub>2</sub> and N<sub>2</sub>F<sub>4</sub> molecules, and ESR hyperfine coupling constants in NF<sub>2</sub>. «Chem. Phys.», 1974, 3, № 2, 271—276 (англ.)

В рамках неэмпирич. метода ССП МО ЛКАО рассчитаны свободный π-электронный радикал NF<sub>2</sub> и молекула N<sub>2</sub>F<sub>4</sub>. Использован базис сгруппированных гауссовых функций, аппроксимирующих расширенный набор АО слейтеровского типа от 1s до 3p. При расчетах

X. 1974 N 17



+1

☒

+2 (ΔH<sub>f</sub>)

XIII - 26554

констант изотропного сверхтонкого взаимодействия (ИСТВ) с ядрами  $N^{14}$  и  $F^{19}$  в радикале  $NF_2$  использован формализм неограниченного метода Хартри—Фока с последующим удалением примесной квартетной компоненты волновой функции. Вычисленные константы ИСТВ удовлетворительно согласуются с эксперим. данными. На основе рассчитанных для  $NF_2$  и  $N_2F_4$  значений электронных энергии оценено изменение энталпии  $\Delta H^{\circ}_{298}$ , характеризующее р-цию диссоциации  $N_2F_4$  (г)  $\rightarrow$  2 $NF_2$  (г) при стандартных условиях. Теор. значение  $\Delta H^{\circ}_{298} = 52,2$  кдж/моль довольно близко к опытному (85).

Н. Д. Чувылкин

1974

NF<sub>2</sub>~~№ 2 Д 887~~

№ 2 Д 887

2839

ХIII

№ 2 Д 887. Изучение вакуумного УФ-фотолиза молекул NF<sub>3</sub>, изолированных в матрице. Электронный спектр свободного радикала NF<sub>2</sub>. Jacox Marilyn E., Michigan Dolphus E., Guillory William A., Smith Jerry J. Matrix-isolation study of the vacuum-ultraviolet photolysis of NF<sub>3</sub>. The electronic spectrum of the NF<sub>2</sub> free radical. «J. Mol. Spectrosc.», 1974, 52, № 2, 322—327 (англ.)

Получены ИК-спектры поглощения в области 2000—400 см<sup>-1</sup> и электронные спектры в области 3300—1250 Å продуктов фотолиза молекул NF<sub>3</sub>, изолированных в матрицах из Ne, Ar и CO при т-ре 14° К. Фотолиз производился излучением разрядной водородной

Ф. 1975. №

лампы с длиной волны до 1200 Å. В ИК-спектре зарегистрированы полосы поглощения 929,932 и 1071 см<sup>-1</sup> (в матрице из Ag), относящиеся к колебаниям свободного радикала NF<sub>2</sub>. В УФ-спектре обнаружена широкая полоса поглощения с максимумом в области 2700 Å. Полоса обладает слабо выраженной структурой с интервалом около 400 см<sup>-1</sup>, соответствующим частоте деф. кол. NF<sub>2</sub> в возбужденном электронном состоянии. Эти результаты согласуются с литературными данными по спектрам NF<sub>2</sub> в газовой фазе. Последующее облучение образца ртутной линией 2537 Å приводит к уменьшению интенсивности полос поглощения, т. е. к фотодиссоциации NF<sub>2</sub>. Библ. 19.

Ю. М.

*NF<sub>2</sub>*

Xu-7106

1974

(u, n)

71009t Matrix-isolation study of the vacuum-ultraviolet photolysis of nitrogen trifluoride. Electronic spectrum of the nitrogen difluoride free radical. Jacox, Marilyn E.; Milligan, Dolphus E.; Guillory, William A.; Smith, Jerry J. (Inst. Mater. Res., Natl. Bur. Stand., Washington, D.C.). *J. Mol. Spectrosc.* 1974, 52(2), 322-7 (Eng). The vacuum uv photolysis of NF<sub>3</sub> in an Ar or a CO matrix at 14°K leads to the prodn. of NF<sub>2</sub>, identified by its ir absorption. F-atom photodetachment also leads to the appearance of FCO in the CO matrix studies. The photodissocn. of NF<sub>2</sub> by 2537 Å radiation was confirmed.

The appearance of a band system near 2600 Å with position and band spacings close to those previously reported for NF<sub>2</sub> in the gas phase demonstrates that the lower state of the gas-phase transition is the ground state of the mol. and confirms the assignment of the obsd. structure to a progression in the upper-state bending vibration.

C. A. 1974. 81. N 12.

3839

XIII

40919.6340

Х.ТС

архив  
NF<sub>2</sub> при 2395  
длитель  
1974  
2395

Исследование реакции тетрафторгидразина  
с азотистоводородной кислотой методом  
импульсного фотолиза. Москвитина Е.Н.,  
Заманский В.М., Кузяков Ю.Я.

"Вестн. Моск. ун-та. Химия", 1974, 15,

№ 4, 486-487 (рез. англ.)

0193

(см. NH<sub>3</sub>)

177 180 185

ВИНИТИ

1974

№<sup>2</sup>

Бюллетень по научно-исследовательской работе ИВТАН, отрасль №8  
Гидроизолирующие материалы  
"автомобиля, водопровода и их сооружений.  
И.П.

NF<sub>2</sub>

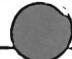
Ottawa 2097 - 1974

Simons Gary;  
Choe Charles E.

Circ. 1900

"Chem. Phys Lett"

1974, 25 N 3, 413-16



$BH_2$ ;  $BF_2$ ;  $NF_2$ ;  $CO_2^-$ ;  $CN0_2^-$ ;  $ClO_2$ ;  $HCO$ ;  $FCO$ ;  $FBH$ ;  $FNH$ ;  $XAB_2$  | reau. eурукн.) 1974  
 pacrem |  $\bar{x} \bar{I} 41 E^S$

Takahata Y., Ei T., I'Haya Y.;

Chem. Phys. Zett., 1974, 26, N4, 557-  
-560 (арх.)

Why not use point charge models  
for the determination of bond  
angles?

Bic June, 1975, 1523 10

(P)

14

40919.6332

X, ТС

NF<sub>2</sub> (000594) 1974

одн. при дегаз.

2396

Исследование [ ] реакции тетрафторгидразина с водородом методом импульсного фотолиза. Заманский В.М., Москвитина Е.Н., Кузяков Ю.Я.

"Вестн. Моск. ун-та. Химия", 1974, 15,  
N 4, 458-460 (рез. англ.)

0193

177 180 185

ВИНИТИ

XIII-3547

1975

pozorím dle n., D(BH, BH<sub>2</sub>, BH<sub>3</sub>, CH, CH<sub>2</sub>,  
CH<sub>3</sub>, NH, NH<sub>2</sub>, NH<sub>3</sub>, NO, NO<sub>2</sub>, NO<sub>3</sub>, NF,  
NF<sub>2</sub>, NF<sub>3</sub>)

Accioly C.S.R., Vyanna J.D.M.,

J Phys B: Atom. and Mol. Phys., 1975,

? , 115, 2987 - 2994

10

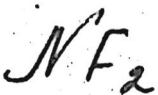
8

50715.252

TC,Ch

29547 GR

1975



\*4-9472

Glidewell C. Bond angles in halides and  
hydrides of nitrogen and oxygen."Inorg.  
and Nucl. Chem. Lett.", 1975, 11, N 5,  
353-357

(англ.)

0409 пик

379 381

ВИНИТИ

NF<sub>2</sub>

[Omnuck 15904]

1975

Craddock S., Hinchcliffe A.J.

creeps matrix isolation.

of  
manipuse A. technique for the  
study of reactive inorganic  
species.

Cambridge University Press, 1975

50730.9091

Ph, Ch, TC

96201

NF<sub>2</sub>

1975

X4-9510

Kendrick J., Hillier I.H., Guest M.F.  
The calculation of hyperfine coupling  
constants of NF<sub>2</sub> and PF<sub>2</sub> by UHF and  
CI methods. "Chem. Phys. Lett.", 1975,  
33, N 1, 173-175

(англ.)

0422 ник

ВИНИТИ

383 383

$NF_2$

Макиев Т.Н.

1975

"Докл. АН СССР"

1975, 222, №1, 151-154

специфич  
номенк

f<sub>mn</sub>

(ав  $KrF_2$ ; III)

$NF_2$

1975

Torgerson D. F., et al

(J.A.P)

Can. J. Chem.,

1975, 53, N6, 933-938



(ac<sub>2</sub>NH<sub>3</sub>; III)

3 Б772. Изучение димеризации дифторамин-радикала методом CNDO/2. Sianina Z., Schlangen J., Zahradník R. CNDO/2 study of the difluoroamino radical dimerization. «Collect. Czech. Chem. Commun.», 1976, 41, № 7, 1864—1874 (англ.)

1976

Методом МО ЛКАО ССП в приближении CNDO/2 определена геометрия молекул  $N_2$ ,  $F_2$ ,  $NF$ ,  $NF_2$  (I),  $NF_3$ , транс- $N_2F_2$ , цис- $N_2F_2$ , транс- и гош-изомеров  $N_2F_4$  (II), рассчитаны также вибрац. частоты и энергетич. затруднения вращения в II. На основе полученных данных рассчитаны термодинамич. параметры газофазной р-ции  $2NF_2 \rightleftharpoons N_2F_4$  при 298,15, 273,15, 423,15 и 523,1° К, для образования транс- и гош-II. Энтальпия процесса рассчитана суммированием двухцентровых энергий взаимодействия, энтропия определена в приближении жесткий ротор—гармонич. осциллятор. Значения величин  $-\Delta H^\circ$  кдж/моль и  $-\Delta S^\circ$  дж/град·моль составили при 298,15° К 94,190 и 177,107, при 523,1° К 93,527 и 175,625 для димеризации с образованием смеси изомеров. Полученные значения соответствуют эксперим. лит. данным. На основе сравнения термодинамич. функций димеризации I и  $NH_2$  обсуждена зависимость р-ционной способности радикалов от локализации нечетного электрона. Пред. сообщ. см. РЖХим, 1976, 5Б1022. Ж. Васilenко

44

几何  
分子

Б

$N^F_2$

$N_2F_4$

геометрия  
молекул

$NH_2$ ,  $AS$

$m.g. 92.$

(+)

х. 1977 № 3

NF<sub>2</sub>

isomeric 5757

1977

Lowe J.P.

J. Amer. Chem. Soc., 1977, 99,  
(17), 5557-70.

(Ae)

b

NF<sub>2</sub>

1977

Soudagar M.K.

cccl.  
ndcm.

J. Shivaji Univ. Sci.,  
1977, 17, 27-38.

• (acc Clad) III

$NF_2$

ommeca 4445

1978.

Biskupič S. Valkoč.  
et al.

(3)

Mol. Phys., 1978, 36 (6)

1709 - 1719.



{eu.  $N_2$ ;  $\underline{\text{II}}$  }

F<sub>2</sub> N

Lovas J. F.:

1988

J. Phys. and Chem. Ref.  
Tables, 1978, 7(4), 1445-1850  
Madangal M. B. Unpublished  
ii Infrared spectra - wavenumbers

NF<sub>2</sub>

1978

Mohan S., Manickavachagam R.

Indian J. Pure and Appl. Phys.,  
1978, 16, n 1, 55-57.

сущ. ном.

шестипод.  
неканц.

(сущ. CF<sub>2</sub>)

) III

NF<sub>2</sub>

1979

Chen C.

No. Mex.  
paper.

Int. J. Quantum Chem.,  
1980, 18, N<sup>o</sup>, 199-204



See. NF-II

*NF<sub>2</sub>*

втмка 8956

1979

9 Б225. Инфракрасная спектроскопия радикала NF<sub>2</sub> с использованием диодного лазера. Davies P. B., Hand J. B. J., Russell D. K. Infrared diode laser spectroscopy of the NF<sub>2</sub> radical. «Chem. Phys. Lett.», 1979, 68, № 2—3, 395—398 (англ.)

На ИК-спектрометре с перестраиваемым диодным лазером в области частот от 1100 до 930 см<sup>-1</sup> измерены спектры полос ν<sub>1</sub> и ν<sub>2</sub> радикала NF<sub>2</sub> X<sup>2</sup>B<sub>1</sub>. Эксперим. ширины линий составляли приблизительно 100 Мгц, что несколько больше расчетного доплеровского уширения и связано с неразрешенной сверхтонкой структурой линий. В полосе ν<sub>1</sub> разрешены отдельные компоненты P, Q и R ветвей, а также расщепление из-за спин-вращательного взаимодействия. Из анализа полученных данных определено эффективное изменение вращательных постоянных B+C от K=10 в основном колебательном состоянии к K=11 в возбужденном колебательном ν<sub>1</sub> состоянии —2,97(15)·10<sup>-3</sup> см<sup>-1</sup>. Полученное значение

XIII- 5558

2.1980.№9

близко к аналогичной величине для  $\text{CF}_2$ . С использованием известных МВ-данных определена величина наибольшей компоненты тензора спин-вращательного взаимодействия для  $K=11$   $\epsilon_{aa'}=-900$  Гц. Полученное значение согласуется с результатами для  $\text{NF}_2$ , основанными на методе лазерного магнитного резонанса.

С. Н. Мурзин

ХBr:

OFFICE 8956

10/10/80

NH<sub>2</sub> |  
|  
|  
(i) VIII

92: 101700h Infrared diode laser spectroscopy of the di-fluorovanimidogen radical. Davies, P. B.; Handy, B. J.; Russell, D. K. (Dep. Phys. Chem., Univ. Cambridge, Cambridge, Engl. CB2 1EP). *Chem. Phys. Lett.* 1979, 68(2-3), 395-8 (Eng). The  $v_1$  and  $v_3$  bands of NH<sub>2</sub>(X<sup>2</sup>B<sub>1</sub>) were measured around 1100 and 930 cm<sup>-1</sup> with tunable IR diode lasers. Many  $RQ$  and  $RR$  components were identified in the  $v_1$  band and a doublet splitting due to spin-rotation interaction is resolved in most of the transitions studied. Anal. of the  $v_1$  spectra yields preliminary values for the change in 1/2(B + C) on vibrational excitation and for the largest component of the spin-rotation tensor,  $\epsilon_{aa}$ , for the upper vibrational level.

XIII- 5558

O.A. 1980. 92N12

*NF<sub>2</sub>*

Одномерн 8956  
XIII- 5558

1979

• 5 Д360. ИК-спектроскопия радикала NF<sub>2</sub> с помощью диодного лазера. Infrared diode laser spectroscopy of the NF<sub>2</sub> radical. Davies P. B., Handy B. J., Russell D. K. «Chem. Phys. Lett.», 1979, 68, № 2—3, 395—398 (англ.)

С помощью диодного ИК-лазера с перестраиваемой частотой получен спектр поглощения NF<sub>2</sub> ( $X^2B_1$ ) в области 1100 и 930 см<sup>-1</sup> (полосы  $\nu_1$  и  $\nu_3$ ). В полосе  $\nu_1$  идентифицировано большое число компонент  ${}^RQ$  и  ${}^R\bar{R}$ . В большинстве случаев удалось разрешить дублетную структуру, связанную со спин-вращательным взаимодействием. Анализ полосы  $\nu_1$  с привлечением результатов микроволновой спектроскопии позволил получить предварительные данные об изменении полусуммы вращательных постоянных  $B$  и  $C$  в зависимости от колебательного возбуждения и значение максим. компоненты  $\varepsilon_{aa} = -900$  МГц ( $K=11$ ) для верхнего колебательного уровня. Библ. 9.

4.17.01.1  
XIII

Ф. 1980 N 5

$NF_2$

1979

Drake M.C., Rosenblatt G.M.,

Raman spectroscopy in high  
temperature chemistry.

10th Materials Research Symposi-  
um on characterization of high  
temperature, vapors and gases.

NBS Special Publication 561  
Volume 1; 1979, 609-646.

(g Typewritten) ●

CKP

2-105. Масс-спектрометрическое исследование три-  
фторида азота методом электронного удара. Ду-  
дин А. В., Балуев А. В., Горохов Л. Н. «Изв.  
АН СССР. Сер. хим.», 1979, № 10, 2172—2177  
*(1979)*

Методом электронного удара исследованы процессы  
ионизации молекулы  $NF_3$ . Для всех обнаруженных по-  
ложит. и отриц. ионов измерены потенциал появления  
и кинетич. энергия. Полученные эксперим. данные ис-  
пользованы при расчете энергий связей  $D_0(FN-F) =$   
 $= 79 \pm 4$  и  $D_0(N-F) = 60 \pm 4$  ккал/моль и нижнего преде-  
ла сродства к электрону радикала  $NF_2$ :  $EA(NF_2) \geqslant$   
 $\geqslant 0,7 \pm 0,2$  эВ.

Автореферат

$D_0$ ;  $AE$   
(из. вис.)  
 $NF_3$ )

④ 11

27080.12

$NF_2$

Lammea 8364

1979

Hinchliffe A; et al.

"J. chl. Struct.", 1979, 54,  
July, 231-38.

закрыт.  
эмбод.



act.  $NH_2 - \bar{H}$

$NF_2$  - ~~discovered N2 & named~~ 1979  
~~hazardous~~

---

Rb. nee.  
facter,  
noceps

Schmiedekamp A.  
et al.

J. Amer. Chem. Soc.  
1979, 101, p. 2002-10.

Lommel 8287 |

1979

$NF_2^-$

$D_i$ , reonempue

Schniedekamp A., et al.

J. Amer. Chem. Soc.,  
1979, 101 (8), 2002-2010.



(all.  $NF_3$ ; III)

$NF_2$

1981

Баумель А. В. и др.

12<sup>и</sup> Ильинская. Стеги на  
обн. и прикл. обн. сечки.

Рег. госл. и сообр. № 3.  
Ил., 1981, 198.

(авт.  $ClO_3F$ ; III).

NF<sub>2</sub>

Lommelse 1037f | 1980

Chen Ch.

Molecules.  
Concepts.  
Y. Y.

Jnt. J. Quant. Chem.  
1980, 18 (1), 199-204.

annua 9263

1980

NF<sub>2</sub>

CF<sub>2</sub>

HO<sub>2</sub>

O<sub>2</sub>

92: 188695c Infrared spectroscopy of free radicals and transient molecules using a tunable diode laser. Davies, P. B.; Russell, D. K. (Dep. Phys. Chem., Univ. Cambridge, Cambridge, Engl. CB2 1EP). *J. Mol. Struct.* 1980, 60, 201-4 (Eng). High resoln. IR spectra of transient species were measured in the gas phase using tunable semiconductor diode lasers in the 9 and 11  $\mu\text{m}$  regions. The spectra were recorded after a single pass of the laser either along a discharge-flow tube or through a conventional IR sample cell. The laser spectrum of the Cl atom at 11.3 was assigned to the  $^2P_{1/2} \rightarrow ^2P_{3/2}$  fine structure transition and shows several resolved hyperfine features. The spectra of NF<sub>2</sub> arise from absorptions in the  $\nu_1$  and  $\nu_3$  fundamental bands, and many components in the  $^2Q_K$  branches of the  $\nu_1$  band were assigned. Two other transient species were also detected and tentatively identified as CF<sub>2</sub>( $\nu_3$ ) and HO<sub>2</sub>( $\nu_3$ ).

(+2)



CA 1980 92 v22

*NF<sub>2</sub>*

Отмск 12262

1981

12 Д1422. Спектры лазерного магнитного резонанса  $\text{NF}_2(v_1)$  в сильном поле вследствие нарушения пересечений зеемановских уровней. High-field laser magnetic resonance spectra of  $\text{NF}_2(v_1)$  tuned by the avoidance of Zeeman-level crossings. Nakata Kohzo, Uehara Hidemichi. «J. Chem. Phys.», 1981, 74, № 11, 5995—5999 (англ.)

С применением CO<sub>2</sub>-лазера методом внутрирезонаторной спектроскопии при т-ре 60—70° С исследованы спектры лазерного магн. резонанса молекулярных паров NF<sub>2</sub>, возникающие вследствие нарушения пересечений зеемановских уровней в сильных магн. полях (до 20 кЭ). На основании анализа полученных спектроскопич. данных с высокой точностью определено положение вращательно-колебательной полосы  $v_1$  и получены значения вращательных и спин-вращательных констант возбужденного колебательного состояния. Библ. 15. В. С. З.

оф. 1981, 18, N 12.

NF<sub>2</sub>

Omnuck 12262

1981

(ci)  
Culverup  
Lagepri.  
Marshall  
preparation

| 95: 52208e High-field laser magnetic resonance spectra of  
nitrogen fluoride (NF<sub>2</sub>) ( $\nu_1$ ) tuned by the avoidance of  
Zeeman-level crossings. Hakuta, Kohzo; Uehara, Hiromichi  
(Sagami Chem. Res. Cent., Kanagawa, Japan 229). *J. Chem.*  
*Phys.* 1981, 74(11), 5995-9 (Eng). The high-field laser  
magnetic resonance spectra of NF<sub>2</sub>( $\nu_1$ ) tuned by the avoidance of  
Zeeman-level crossings were obsd. by using a CO<sub>2</sub> laser. The  
anal. yielded the band origin of the  $\nu_1$  vibration-rotation band  
and the rotational and spin-rotation consts. of the excited  
vibrational state.

C.A. 1981, 95, N6.

NF<sub>2</sub>

1980

Jug K; et al.

кб. мма.  
на ср., '81  
нр. сбаги

Theor. chim. acta, 1980, 57,  
N.R., 131-44



cell. F11-15

1980

NF<sub>2</sub>

pacrem  
noem. chex-  
mokoro  
pacwend.

Ohta K., et al.,  
J. Chem. Phys. 1980,  
73(4), 1770-6.

$NF_2$

1983

Davies P.B., Hamilton P.A.

Bull. Soc. chim. belg., 1983,

UK QUOQUA-92, N6-7, 16th Int. Symp.  
enramp. Free Radicals, Lanzelle-Ot-  
tignies, Sept. 12-16, 1983, 579.

(Ces. Ar<sup>+</sup>; III)

NE<sub>2</sub>

[001. 19632 18901] 1983

Dixit A. N.,

Rashobel.  
zeocrem.,  
meopen.  
pacrem.

Indian J. Pure and  
Appl. Phys., 1983, 21,  
542-543.

$NF_2$

1984

Berkowitz J., Greene G.P.,  
et al.

J. Chem. Phys., 1984, 81,  
N12, Pt2, 6166-6175.

(crys.  $\bullet NF_3^+$ , III)

1984

NF<sub>2</sub>

1 Б1105. Иракрасная лазерная спектроскопия свободных радикалов и ионов. III. Полоса  $\nu_3$  NF<sub>2</sub>(X<sup>2</sup>B<sub>1</sub>). Infrared laser spectroscopy of free radicals and ions. III. The  $\nu_3$  band of NF<sub>2</sub>(X<sup>2</sup>B<sub>1</sub>). Davies P. B., Hamilton P. A. «Proc. Roy. Soc. London», 1984, A393, № 1805, 397—408 (англ.)

Измерена вращательная структура полосы  $\nu_3$  NF<sub>2</sub>(X<sup>2</sup>B<sub>1</sub>) в области 900—980 см<sup>-1</sup>. Спектры высокого разрешения ( $\sim 0,04$  см<sup>-1</sup>) получались на фурье-спектрометре ( $P \sim 1$  мм,  $l = 15$  см), а спектры очень высокого разрешения, ограниченного допплеровским уширением,— с помощью перестраиваемого диодного лазерного спектрометра ( $P \sim 0,1$  мм,  $l = 50$  см). Молекулы NF<sub>2</sub> получались при нагревании ( $T = 100^\circ$ ) N<sub>2</sub>F<sub>4</sub>. Приведено положение и отнесение около 250 линий. Значения вращательных постоянных, постоянных центробежного искажения и спин-вращательных постоянных для

④ 18

X. 1985, 19, N1.

состояния  $v_3=1$ :  $A=2,3257539$ ,  $B=0,3940597$ ,  $C=$   
 $=0,3343841$ ,  $\Delta_{NN}=4,662 \cdot 10^{-7}$ ,  $\Delta_{NK}=-2,015 \cdot 10^{-6}$ ,  
 $\Delta_{KK}=6,169 \cdot 10^{-5}$ ,  $\delta_N=1,080 \cdot 10^{-7}$ ,  $\delta_K=9,69 \cdot 10^{-7}$   
(в см $^{-1}$ );  $\varepsilon_{aa}=-918,11$ ,  $\varepsilon_{bb}=-90,33$ ,  $\varepsilon_{cc}=8,57$   
(в МГц);  $\nu_0=942,48153$  см $^{-1}$ ;  $\xi_{13}=0,698$ . При обработке спектра использовались мол. постоянные основного состояния, полученные авторами ранее из анализа вращательной структуры полосы  $\nu_1$ . Сопоставлены значения вращательных постоянных и дефектов инерции для основного и возбужденных ( $v_1=1$ ,  $v_3=1$ ) колебательных состояний  $\text{NF}_2(X)$ ; дефекты инерции для состояний  $v_1=1$  и  $v_3=1$  молекул  $\text{NF}_2$  и  $\text{CF}_2$ . В. М. Ковба

NF<sub>2</sub>

1984

Om. 19000

9 Л155. ИК-лазерная спектроскопия свободных радикалов и ионов. Ч. II. Анализ полосы  $\nu_1$  NF<sub>2</sub>( $\tilde{X}^2B_1$ ). Infrared laser spectroscopy of free radicals and ions. II. Analysis of the  $\nu_1$  band of NF<sub>2</sub>( $\tilde{X}^2B_1$ ). Davies P. B., Hamilton P. A., Lewis-Bevan W., Russell D. K. «Proc. Roy. Soc. London», 1984, A392, № 1801, 445—455 (англ.)

С использованием перестраиваемых по частоте диодных ИК-лазеров получены ИК-спектры радикалов NF<sub>2</sub> (I), образованных при термич. диссоциации молекул

Vi, III-A;

ф. 1984, 18, № 9

$\text{N}_2\text{F}_4$  в газовой фазе. Идентифицированы  $\sim 300$  компонент вращательной структуры ИК-полосы колебания  $v_1$ -I со спектральным разрешением  $5 \cdot 10^{-4} \text{ см}^{-1}$ . Рассчитаны параметры вращательных переходов Q-ветви полосы  $v_1$  с большими значениями числа  $K_a$ . Частота перехода 0—0 полосы  $v_1$  I составляет  $1074,9897(8) \text{ см}^{-1}$ . Обсуждены условия кориолисова взаимодействия между колебательными движениями  $v_1$  и  $v_3$  I. Определены вращательные постоянные основного состояния для колебания  $v_1$  I, которые удовлетворительно согласуются с аналогичными величинами по данным расчета микроволновых спектров I. Ч. I см. Davies P. B. et al. «Proc. Roy. Soc. London», 1983, A389, 205.

И. В. А.

*NF<sub>2</sub>* On. 19626, On. 19000 1984

17 Б1245. Инфракрасная лазерная спектроскопия свободных радикалов и ионов. II. Анализ полосы  $\nu_1$   $\text{NF}_2$  ( $\tilde{\chi}^2\text{B}_1$ ). Infrared laser spectroscopy of free radicals and ions. II. Analysis of the  $\nu_1$  band of  $\text{NF}_2$  ( $\tilde{\chi}^2\text{B}_1$ ). Davies P. B., Hamilton P. A., Lewis-Beveran W., Russell D. K. «Proc. Roy. Soc. London», 1984, A392, № 1801, 445—455 (англ.)

*M. N.*

Спектр поглощения в области полосы  $\nu_1$  долгоживущего радикала  $\text{NF}_2$ , образуемого при термич. диссоциации тетрафторгидразина  $\text{N}_2\text{F}_2$ ,  $\text{N}_2\text{F}_2 \rightleftharpoons 2\text{N}_2\text{F}_2$ , исследован на диодном лазерном спектрометре (I) между 1020 и 1145  $\text{см}^{-1}$  с разрешением, ограниченным доплеровским уширением. Спектр калиброван по спектрам OCS, NH<sub>3</sub>, N<sub>2</sub>O, CO<sub>2</sub>, измеренным в этой области. Абс. точность измерения центров линий  $\text{NF}_2$  составляла  $5 \cdot 10^{-4}$   $\text{см}^{-1}$ . Проведено отнесение почти 300 линий поглощения полосы  $\nu_1$   $\text{NF}_2$  ( $\tilde{\chi}^2\text{B}_1$ ). Показано, что в области, где группируются линии переходов с большими значениями вращательных квантовых чисел (K, N), спектр близок

спе

*X.1984, 19, N 17*

по структуре к спектру  $Q$ -ветви перпендикулярной полосы молекулы типа вытянутого симм. волчка, в области переходов с низкими вращат. квантовыми числами  $Q$ -структура нерезкая и отнесение м. б. проведено только при колич. анализе спектра. С использованием уотсоновского приведенного вращат. гамильтониана в А-редукции проведена совместная обработка измеренных центров линий 100 ИК-переходов и 17 МВ-переходов в основном колебат. состоянии и определены спектроскопич. постоянные (вращат.  $A, B, C$ , центробежные  $\Delta_{NN}, \Delta_{NK}, \Delta_{KK}, \delta_N, \delta_K$ ; ТС  $\varepsilon_{aa}, \varepsilon_{bb}, \varepsilon_{cc}$ ) возбужденного колебат. состояния  $v_1=1$  (в ед.  $\text{см}^{-1}$ ):  $A = 2,354099(59)$ ,  $B = 0,393822(18)$ ,  $C = 0,337949(21)$ ,  $10^7 \Delta_{NN} = 4,14(30)$ ,  $10^6 \Delta_{NK} = -1,269(132)$ ,  $10^5 \Delta_{KK} = 6,337(25)$ ,  $10^7 \delta_N = -1,042(201)$ ,  $10^6 \delta_K = -7,35(313)$ ,  $\varepsilon_{aa}/(\text{МГц}) = 939,5(23,7)$ ,  $\varepsilon_{bb}/(\text{МГц}) = -94,1(11,1)$ ,  $\varepsilon_{cc}/(\text{МГц}) = 9,9(12,3)$ . Для центра полосы  $v_1$  найдено значение 1074, 9897(8)  $\text{см}^{-1}$ . Влияние кориолисового взаимодействия между колебаниями  $v_1$  и  $v_3$  учтено только при анализе дефекта инерции, для к-рого получены величины:  $\Delta_{000} = 0,1221\text{а.е.м. } A^2$  и  $\Delta_{100} = -0,0840\text{а.е.м. } A^2$  соотв. для основного и возбужденного  $v_1=1$  колебат. состояний. Пред. сообщ. см. «Proc. Roy. Soc. Lond.», 1983, A389, 205.

Б. М. Михайлов

*NF<sub>2</sub>*

Om. 19000

1984

(D)

100: 200087d Infrared laser spectroscopy of free radicals and ions. II. Analysis of the  $\nu_1$  band of nitrogen difluoride ( $X^2B_1$ ), Davies, P. B.; Hamilton, P. A.; Lewis-Bevan, W.; Russell, D. K. (Dep. Phys. Chem., Univ. Cambridge, Cambridge, UK CB2 1EP). *Proc. R. Soc. London, [Ser. J] A* 1984, 392(1803), 445-55 (Eng). Almost 300 absorption lines of the  $\nu_1$  fundamental band of  $NF_2(X^2B_1)$  were assigned by using high resoln. IR spectroscopy with tunable diode lasers. The spectrum resembles a perpendicular band of a prolate sym. top with Q-branches which have high  $K_a$  quantum nos. presenting the most distinguishable features. A combined fit of nearly 100 IR lines and 18 microwave transitions yields a new set of rotational, distortion and spin-rotation parameters for the  $\nu_1 = 1$  level. The band center is 1074.9897(8)  $cm^{-1}$ . A preliminary anal. of the  $\nu_1-\nu_3$  Coriolis interaction through the inertial defect is presented.

C.A. 1984, 100, N 24

*NF<sub>2</sub>*

1986

21 Б1275. Изучение полосы  $v_3$  радикала NF<sub>2</sub> методом лазерно-микроволнового двойного резонанса с использованием спектров лазерно-магнитного резонанса в сильных полях. Laser microwave double resonance using high-field LMR spectra for the  $v_3$  band of NF<sub>2</sub>. Uehaga H., Horai K. «J. Chem. Phys.», 1986, 84, № 10, 5568—5574 (англ.) Место хранения ГПНТБ СССР

Методом двойного ИК—МВ-резонанса в спектре лазерно-магнитного резонанса в сильном (до 20 кГс) поле исследована вращат. структура и эффект Зеемана на вращат. структуре ИК-полосы  $v_3$  радикала NF<sub>2</sub> в основном дублетном электронном состоянии (использовались лазерные линии в области 900—943 см<sup>-1</sup>). Анализ спектра выполнен с учетом квартичного центробежного искажения, электронного спин-вращат. и электрон-ядерных спин-спиновых взаимодействий, квадрупольной связи ядра азота и эффекта Зеемана. С привлечением данных по ИК-спектру определены значения констант этих взаимодействий, в т. ч. значения спиновых и вращат. *g*-факторов.

Е. В. Алиева

Х. 1986, 19, № 21

1986

NF<sub>2</sub>

№12 Л1334. Лазерный микроволновый двойной резонанс с использованием спектров лазерного магнитного резонанса в сильном поле для полосы ν<sub>3</sub>NF<sub>2</sub>. Laser microwave double resonance using high-field LMR spectra for the ν<sub>3</sub> band of NF<sub>2</sub>. Uehaga Нігомічи, Horiai Kouji. «J. Chem. Phys.», 1986, 84, № 10, 5568—5574 (англ.). Место хранения ГПНТБ СССР

Получены спектры лазерного магн. резонанса радикалов NF<sub>2</sub> в сильном поле с использованием лазера CO<sub>2</sub> и аналогичные спектры двойного микроволнового лазерного магн. резонанса. Анализ спектров проведен с использованием гамильтониана Уотсона с учетом спин-вращательного взаимодействия. Приведены значения резонансных полей и соответствующие им частоты микроволн. резонансов. С использованием микроволн. данных и результатов измерений с диодным лазером для нулевых частот определены g-факторы.

М. В. Т.

φ. 1986, 18, N 12.

NF<sub>2</sub>

[011.28370]

1987

Алтынай А.Б., Веникеевна Г.Н. и др.

Структ. Габаризы рекомендуемых  
типа справочных данных.

Кодиф. Демонирован. во ВНИИРН

документ. 20 сс стандарт СССР 17.02.87.

№295.

$NF_2^+$

(DM. 31458)

1988

Fisher J.J., Mc Mahon T.B.,

смоделируя,  
ab initio  
pacrem.

J. Amer. Chem. Soc., 1988,  
110, № 23, 7599-7604.

$F_2N^+$   
 $(NF_2^+)$

Om. 30490 1988

Jacob M.E.,

Ti; J.Phys. and Chem. Ref.  
Di; Data, 1988, 17, N2, 340.

$NF_2$

1989

Baird N. Colin, Kuhn  
Markus, et al.

M.R. Can. J. Chem. 1989. 67,  
N.Y. C. 1952-1958.

(Ccl.   $BH_2$ ; III)

$NF_2$

Frank U.E., Hüttner W,<sup>1989</sup>

mm Wave Magic-Doub-  
let Rotational Zeeman  
Spectroscopy of the  $NF_2$   
Radical

Eleventh Colloquium On  
High Resolution Mo-Y28

lecular Spectroscopy, Giessen,  
September 18-22, 1989, A1, 328.

FNF<sup>3+</sup>

1989

Pyykkö Pekka

M.H.

Chem. Phys.lett.-1989.-

156, ~4.- p. 337-40

(Cu. CCl<sub>4</sub>, II)

*NF<sub>2</sub>*

*1990*

114: 49913m The potential energy and dipole moment surfaces of nitrogen difluoride and ozonide by complete active space self-consistent field. Peterson, Kirk A.; Mayrhofer, Rudolph C.; Woods, R. Claude (Dep. Chem., Univ. Wisconsin, Madison, WI 53706 USA). *J. Chem. Phys.* 1990, 93(7), 5020-8 (Eng). Three-dimensional potential energy and dipole moment surfaces were calcd. for the 25-electron radicals NF<sub>2</sub> and O<sub>3</sub><sup>-</sup> in their 2B<sub>1</sub> ground electronic states by the complete active space SCF (CASSCF) method. Spectroscopic consts. have been calcd. from the anal. potential energy functions for each species. Predictions of the rotational and rotational-vibrational spectra of O<sub>3</sub><sup>-</sup> were made by comparison to the NF<sub>2</sub> results. Vibrational band origins have been calcd. by perturbation theory and also variationally in a basis of distributed Gaussian functions. Rotationless dipole moment matrix elements and vibrational band intensities have been detd. from the CASSCF dipole moment functions. The fundamental vibrational band origins and intensities of O<sub>3</sub><sup>-</sup> are predicted to be 979 cm<sup>-1</sup>/0.87 cm<sup>-2</sup> atm<sup>-1</sup> ( $\nu_1$ ), 565 cm<sup>-1</sup>/17.8 cm<sup>-2</sup> atm<sup>-1</sup> ( $\nu_32$ ), and 739 cm<sup>-1</sup>/2620 cm<sup>-2</sup> atm<sup>-1</sup> ( $\nu_3$ ). Smaller basis-set calcns. of the first three excited electronic states of O<sub>3</sub><sup>-</sup> have also been carried out.

*2B<sub>1</sub>, u.n.,*

*pacem*

(+1) ~~x~~

C.A. 1991, 114, N6

O<sub>3</sub><sup>-</sup>

112 125

1990

NF<sub>2</sub>

Peterson K.A., Mayr-  
hofer R.C., Woods R.C.,

J. Chem. Phys. 1990, 93,

M.H. NF<sub>2</sub>, C. 5020 - 5028

P.D.Q. N.H., 1991

NF<sub>2</sub>

DM. 35557

1991

8 Д150. Неэмпирическое исследование низколежащих электронных состояний радикала NF<sub>2</sub>. Ab initio study of low-lying electronic states of the NF<sub>2</sub> radical / Cai Z.-L., Sha G.-H., Zhang C.-H., Huang M.-B. // Chem. Phys. Lett.— 1991.— 178, № 2—3.— С. 273—278.— Англ.

Неэмпирическими методами в базисе 6-31 ГФ\* исследованы низколежащие электронные состояния радикала NF<sub>2</sub>: X<sup>2</sup>B<sub>1</sub>, <sup>2</sup>A<sub>1</sub>, <sup>2</sup>B<sub>2</sub>, <sup>2</sup>A<sub>1</sub> и <sup>2</sup>A<sub>2</sub>. Расчеты первых трех из указанных состояний проведены с использованием теории возмущений в варианте Меллера — Плессета 2-го порядка (МП2). Расчеты двух последних состояний проведены неограниченным методом Хартри — Фока. Получены равновесные геометрии, энергии возбуждения, колебательные частоты и др. спектроскопич. постоянные. Результаты расчета методом МП2 для состояний X<sup>2</sup>B<sub>1</sub> и <sup>2</sup>A<sub>1</sub> согласуются с эксперим. данными, полученными при фотолизе методом УФ-спектроскопии. Проведенные исследования показали важность включения в базис поляризац. ф-ций и учета корреляционной энергии при проведении неэмпирич. расчетов радикала NF<sub>2</sub>.

Т. Д.

cb. 1991, N 8

NF<sub>2</sub>

OMM. 3555.7

1991

114: 2148163 Ab initio study of low-lying electronic states of the difluoroenmidogen (NF<sub>2</sub>) radical. Cai, Z. L.; Sha, G. H.; Zhang, C. H.; Huang, M. B. (Dalian Inst. Chem. Phys., Chin. Acad. Sci., Dalian, Peop. Rep. China 116012). *Chem. Phys. Lett.* 1991, 178(2-3), 273-8 (Eng). The equil. geometries, excitation energies, vibrational frequencies for the low-lying states X<sup>2</sup>B<sub>1</sub>, <sup>2</sup>A<sub>1</sub>, <sup>2</sup>B<sub>2</sub>, <sup>2</sup>A<sub>1</sub>, and <sup>2</sup>A<sub>2</sub> of the NF<sub>2</sub> radical have been caled. at the HF/6-31 G\* and MP2/6-31 G\* levels. Our MP2/6-31 G\* results for the X<sup>2</sup>B<sub>1</sub> and <sup>2</sup>A<sub>1</sub> states are in good agreement with available exptl. data obtained recently via UV spectroscopy and photolysis. Our calens. indicate that inclusion of polarization functions in the basis set and incorporation of correlation energy are both important in ab initio calens. on the NF<sub>2</sub> radical.

UNMEMPHIL,

Di, MEMPH.

CORPORATION,

PACIFIC

C.A. 1991, 114, N 22

NF<sub>2</sub>

РМ, З55557

1991

№ 17 Б1042. Неэмпирическое изучение низколежащих состояний радикала NF<sub>2</sub>. Ab initio study of low-lying electronic states of the NF<sub>2</sub> radical / Cai Z.-L., Sha G.-H., Zhang C.-H., Huang M.-B. // Chem. Phys. Lett.— 1991.— 178, № 2—3.— С. 273—278.— Англ.

Неограниченным методом ССП в базисе 6-31ГФ\* оптимизированы геометрии состояний X<sup>2</sup>B<sub>1</sub>, 1<sup>2</sup>A<sub>1</sub>, 2<sup>2</sup>B<sub>2</sub>, 2<sup>2</sup>A<sub>1</sub> и 2<sup>2</sup>A<sub>2</sub> молекулы NF<sub>2</sub>. Для состояний X<sup>2</sup>B<sub>1</sub>, 1<sup>2</sup>A<sub>1</sub> и 2<sup>2</sup>B<sub>2</sub> оптимизация проведена также методом теории возмущений Мёллера — Плессета 2-го порядка, рассчитаны силовые постоянные, колебат. частоты и вращат. постоянные. Найдено, что для получения точных результатов необходимы как включение в базис поляризаций, так и учёт корреляции. В. Я. Беспалов

Х. 1991, N 17

$NF_2$

Dixir A.N.

1991

M

Indian J. Pure and Appl.

Phys. 1991. 29, N.I.C.

41-42.

(cu.  $\bullet$   $BeH_2$ ; III)

$\cdot NF_2$

[Om. 35481]

1991

Frank U.E., Hüttner W.,

Chem. Phys. 1991, 152,  
N 3, 261-279

The diamagnetic properties  
of the  $NF_2$  radical

by magic doublet rotational  
Zeeman spectroscopy.

$NF_2^+$

(OM 35863)

1991

homogeneous  
noble gas,  
 $N$ ,  
neop.

Peterson R.F., Blaurock R.C.  
et al.

J. Chem. Phys. 1991, 94,  
N1, 414-430.

procedure Complete active space self-  
consistent field potential

energy surfaces, dipole moment functions, and spectroscopic properties of  $O_3$ ,  $CF_2$ ,  $NO_2^-$ , and  $NF_2^+$ .

*NF<sub>2</sub>*

1992

119 13329d MRSDCI studies of four doublet states and dissociation of the X<sup>2</sup>B<sub>1</sub> and <sup>2</sup>A<sub>1</sub> state of the difluoromildogen radical. Cai, Zhengli; Sha, Guohe; Zhang, Cunhao (Dalian Inst. Chem. Phys., Acad. Sin., Dalian, Peop. Rep. China 116012). *Prog. Nat. Sci.* 1992, 2(1), 18-24 (Eng). The equil. geometries and excitation energies for the low lying electronic states X<sup>2</sup>B<sub>1</sub> and <sup>2</sup>A<sub>1</sub>, <sup>1</sup>B<sub>1</sub> and <sup>2</sup>A<sub>2</sub> of the NF<sub>2</sub> radical have been calcd. at the MRSDCI level with a double zeta basis augmented by polarization functions (d functions) on all the atoms. The results for the X<sup>2</sup>B<sub>1</sub> and <sup>2</sup>A<sub>1</sub> states are in good agreement with expt., and the excitation energy for X<sup>2</sup>B<sub>1</sub> - <sup>2</sup>A<sub>2</sub> is in agreement with the exptl. data of Ref. [12]. The <sup>2</sup>A<sub>1</sub> state is unstable and can easily dissociate into NF(<sup>1</sup>Δ)+F(<sup>2</sup>P) since the calcd. energy barrier for this dissociation is only 0.473 eV.

(X<sup>2</sup>B<sub>1</sub>, <sup>2</sup>A<sub>1</sub>,  
<sup>2</sup>D<sub>2</sub>, <sup>2</sup>A<sub>2</sub>)

смкъ кнупа, и  
Хепинъ лозъя.  
млр. наим

С. А. 1993, 119, N2

$NF_2^+$

1993

119: 15562j Theoretical studies of several electronic states of the difluoroaminium ( $NF_2^+$ ) ion. Cai, Z. L. (Dep. Chem., East China Inst. Technol., Nanjing, Peop. Rep. China 210014). *Chem. Phys. Lett.* 1993, 202(1-2), 70-4 (Eng). The equil. geometries, excitation energies, force consts. and vibrational frequencies for several low-lying electronic states  $X^1A_1$ ,  $^1B_1$ ,  $^3B_1$ ,  $^1A_2$ ,  $^3A_2$ ,  $^1B_2$  and  $^3B_2$  of the  $NF_2^+$  ion were at the MRSDCI level with a double zeta plus polarization basis set. The calcd. excitation energies for  $X^1A_1 \rightarrow ^1B_1$  and  $X^1A_1 \rightarrow ^3B_1$  and vibrational frequency values for the  $X^1A_1$  and  $^3B_1$  states are in agreement with available exptl. data obtained via photoelectron spectroscopy of the  $NF_2$  radical. Some electronic transition properties for the  $^1B_1 \rightarrow X^1A_1$  and  $^1B_2 \rightarrow X^1A_1$  transitions are calcd. based on the MRSDCI wave functions.

COPYRIGHT  
Heinrich Foerster  
UW-Madison  
MLOP: PACEM

C.A. 1993, 119, N2

$NF_2^+$

1993

Falakler A.B., Kurnaz V.I.,

meopen.  
pacem  
succis.  
cnafith.

Zh. fiz. khim. 1993, 67(5),  
987-9.

(coll.  $BF_3^+$ ; M)

$NX_2^+$

$NF_2$ <sup>+</sup>

1993

120: 86903c Theoretical studies of inorganic compounds. Part III. The lowest lying singlet and triplet states of the halonitrenium ions  $NX_2^+$  and  $NHX^+$  and a comparison with the carbon analogs  $CX_2$  and  $CHX$  ( $X=F, Cl, Br, I$ ). A theoretical study. Gobbi, Alberto; Frenking, Gernot (Fachber. Chem., Philippe-Univ., D-35037 Marburg, Germany). Bull. Chem. Soc. Jpn. 1993, 66(11), 3153-65 (Eng). The equil. yies, energy differences, and vibrational frequencies for the energetically lowest lying  $^1A_1$  and  $^3B_1$  states of  $NH_2^+$ ,  $NHX^+$ , and  $NX_2^+$  ( $X=F, Cl, Br, I$ ) are theor. predicted using ab initio quantum mech. methods at the MP4/ $\delta$ -311G(2d)/MP2/ $\delta$ -31G(d) level of theory. Effective core potentials are employed for bromine and iodine. The isoelectronic carbenes  $CH_2$ ,  $CHX$ , and  $CX_2$  are also calcd. The electronic structure of the mols. is investigated using the topol. anal. of the electronic wave function.

MURKIN  
CERULEAN · K  
MURKIN · H  
EDCM ·, MeOP-  
PAACM

c.A. 1994, 120, N8

415

NF<sub>2</sub>

1993

120: 87144t Electronic and geometrical structure of the NF<sub>2</sub> radical. Papakondylis, Aristotle; Mavridis, Aristides (Laboratory of Physical Chemistry, Department of Chemistry, National and Kapodistrian University of Athens, Panepistemiopolis, Athens, Greece 15771). *Chem. Phys. Lett.* 1993, 216(1-2), 167-72 (Eng). Ab initio calcns. of equil. geometries, excitation energies, dipole moments and charges for the low-lying X<sup>2</sup>B<sub>1</sub>, 1<sup>2</sup>A<sub>1</sub>, 2<sup>2</sup>A<sub>1</sub>, 1<sup>2</sup>B<sub>2</sub> and 3<sup>2</sup>A<sub>1</sub> electronic states of the NF<sub>2</sub> radical were carried out at the RHF/SDCI level, using large basis sets. The results are in good agreement with exptl. data. A rationalization scheme for the exptl results obtained through UV spectroscopy and photolysis of NF<sub>3</sub> is proposed from the theor. results.

ab initio calcns  
0993. 120, N8  
by. locm.

C.A. 1994, 120, N8

$NF_2$

1994

Geester Maggie A.,  
Eriksson Leif A. et al.  
~~nuopreci~~ Can. J. Chem. 1994,  
~~pacerici~~ 72(3), 695-704.

(ceer.  $NH_2$ ;  $\text{II}$ )

NF<sub>2</sub>

1994

120: 307847s Absolute cross sections for the electron impact ionization of the NF<sub>2</sub> and NF free radicals. Tarnovsky, V.; Levin, A.; Becker, K. (City Coll., City Univ. New York, New York, NY 10031 USA). *J. Chem. Phys.* 1994, 100(8), 5626-30 (Eng). The authors report measurements of the abs. cross sections for the electron-impact ionization of the NF<sub>2</sub> and NF free radicals from threshold to 200 eV. At 70 eV, the abs. parent NF<sub>2</sub> and NF ionization cross sections were  $1.25 \pm 0.23 \text{ \AA}^2$  and  $1.05 \pm 0.19 \text{ \AA}^2$ , resp. The authors found little evidence of the presence of vibrationally excited radicals in the incident target beam for both NF<sub>2</sub> and NF. The authors also studied the dissociative ionization of NF<sub>2</sub> and N<sup>-</sup>. The abs. cross section for the formation of the NF<sup>+</sup> fragment ions from NF<sub>2</sub> was found to be  $0.75 \pm 0.15 \text{ \AA}^2$  at 70 eV. The NF<sup>+</sup> fragment ions were formed with little excess kinetic energy. The only significant pathway leading to the obsd. NF<sup>+</sup> fragment ions was the single pos. ion formation. The authors' data showed no indication of the presence of double pos. ion formation channels or pos.-neg. ion pair formation processes. Cross sections for the formation of the at. fragment ions F<sup>+</sup> and N<sup>+</sup> from both NF<sub>2</sub> as well as NF were found to be small, with max. values of less than  $0.1 \text{ \AA}^2$  at 70 eV in all cases.

WORLW. FRICK  
4 gas, no neg.  
all cleave  
itself

8

(H) NF

C-A. 1994, 120, N24

$NF_2^+$

Om. 38022

1995

$NF_2^-$

Jacob M.E., Thompson W.E.,

KK

J. Chem. Phys., 1995, 102,

Eckamp  
K

(1), 6-12.

REVIEW

$NF_2^+$

LOM. 40062 /

1999

Dominic P. Seccombe,  
Fary K. Garris et al.,

Do

Chem. Phys., 1999,  
250, 335-346